

## บทที่ 4

### การควบคุมฟ์ชีสำหรับวงจรแปลงผันกำลังไฟฟ้าแบบบูสต์เรียงต่อกันสามขั้น

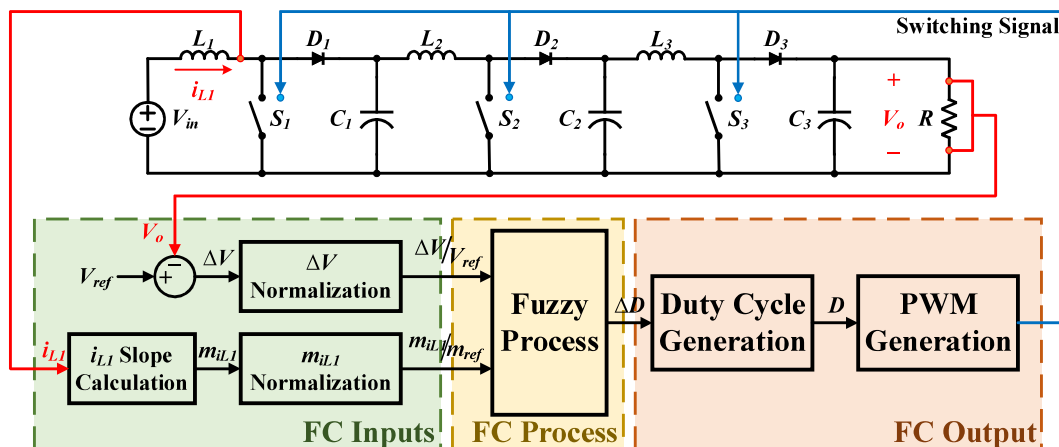
#### 4.1 บทนำ

จากการศึกษาของวงจรแปลงผันกำลังไฟฟ้าแบบบูสต์เรียงต่อกันสามขั้นในบทที่ 3 นั้น ผลการจำลองสถานการณ์การทำงานของวงจรขณะไม่มีตัวควบคุมแสดงให้เห็นถึงการพุ่งเกินของแรงดันเอาร์พุต และกระแสที่เหลือ่านั้นนำที่มีค่าค่อนข้างสูง ซึ่งอาจส่งผลให้อุปกรณ์ภายในวงจรแปลงผันกำลังไฟฟ้าแบบบูสต์เรียงต่อกันสามขั้นเสียหายจนวงจรแปลงผันกำลังไฟฟ้าไม่สามารถทำงานได้ ดังนั้นวงจรแปลงผันกำลังไฟฟ้าแบบบูสต์เรียงต่อกันสามขั้นจำเป็นต้องอาศัยตัวควบคุมที่เหมาะสม เพื่อรักษาระดับแรงดันเอาร์พุตให้คงที่ได้ตามต้องการและมีสมรรถนะที่ดี ทั้งในสภาวะชั่วคราวและสภาวะอยู่ตัวภายใต้สถานการณ์การเปลี่ยนแปลงจุดการทำงานของ ในบทที่ 4 นี้จะนำเสนอการพัฒนาและออกแบบตัวควบคุมฟ์ชีสำหรับวงจรแปลงผันกำลังไฟฟ้าแบบบูสต์เรียงต่อกันสามขั้น เพื่อให้ได้ค่าวัสดุกรหน้าที่สวิตซ์ที่เหมาะสม สามารถควบคุมให้ค่าแรงดันเอาร์พุตคงที่ตามต้องการและเข้าสู่สภาวะอยู่ตัวอย่างรวดเร็ว โดยเนื้อหาในบทนี้ประกอบด้วยโครงสร้างตัวควบคุมฟ์ชี การออกแบบตัวควบคุมฟ์ชี และการจำลองสถานการณ์ของวงจรแปลงผันกำลังไฟฟ้าแบบบูสต์เรียงต่อกันสามขั้นภายใต้ตัวควบคุมฟ์ชี โดยประสิทธิผลของตัวควบคุมฟ์ชีที่พัฒนาขึ้นพิจารณาได้จากผลการจำลองสถานการณ์ เมื่อวงจรทำงานภายใต้สถานการณ์ต่าง ๆ เช่น การเปลี่ยนแปลงแรงดันอินพุต แรงดันอ้างอิง และโหลดตัวต้านทาน อีกทั้งยังได้นำเสนอผลการเปรียบเทียบสมรรถนะการทำงานของวงจรเมื่อใช้ตัวควบคุมฟ์ชีที่พัฒนาขึ้นกับตัวควบคุมฟ์ไอ ภายใต้สถานการณ์การเปลี่ยนแปลงจุดการทำงานเดียวกัน ซึ่งมีเนื้อหาดังต่อไปนี้

#### 4.2 การออกแบบตัวควบคุมฟ์ชีสำหรับวงจรแปลงผันกำลังไฟฟ้าแบบบูสต์เรียงต่อกันสามขั้น

ตัวควบคุมฟ์ชีสำหรับวงจรแปลงผันกำลังไฟฟ้าแบบบูสต์เรียงต่อกันสามขั้น จะอาศัยตัวตรวจจับแรงดันวัดค่า  $V_O$  และตัวตรวจจับกระแสวัดค่า  $i_L$  เพื่อส่งค่าที่วัดได้ไปยังตัวควบคุมฟ์ชีที่พัฒนาขึ้น ส่วนเอาร์พุตของตัวควบคุมฟ์ชีเป็นสัญญาณการทำงานของสวิตซ์ที่เหมาะสมให้กับสวิตซ์

ทั้งสามตัว เพื่อให้การควบคุมฟ์ซซีที่มีประสิทธิผลจึงพิจารณาค่าอินพุตสองค่าก่อนเข้าสู่กระบวนการฟ์ซซีได้แก่ค่าความผิดพลาดของแรงดัน ( $\Delta V$ ) และความชันกระแสที่แหล่งน้ำหนาตัวที่หนึ่ง ( $m_{iL1}$ ) โดยวัตถุประสงค์ของการเลือกอินพุต  $\Delta V$  คือเพื่อควบคุมให้ผลตอบสนองมีความถูกต้องในสถานะอยู่ตัว ส่วนอินพุต  $m_{iL1}$  จะถูกพิจารณาเพื่อควบคุมให้ผลตอบสนองของระบบมีความรวดเร็วยิ่งขึ้นในสภาวะชั่วครู่ หากพิจารณาอินพุตค่าที่สองเป็นกระแสที่แหล่งน้ำหนาตัวที่สอง ( $i_{L2}$ ) อาจจะให้ผลตอบสนองที่ได้ไม่รวดเร็วเท่ากับการใช้อินพุตเป็น  $i_{L1}$  เนื่องจากโครงสร้างของวงจรแปลงผันกำลังไฟฟ้าแบบบูสต์เรียงต่อ กันสามชั้นนั้น ค่า  $i_{L2}$  แปรผันตรงกับ  $V_{C1}$  ดังสมการ (3.4) ในบทที่ 3 โดยที่  $V_{C1}$  ได้จากการชาร์จกระแส และคายประจุ จากกระแส  $i_{L1}$  โครงสร้างการควบคุมฟ์ซซีที่พัฒนาขึ้นสำหรับวงจรแปลงผันกำลังไฟฟ้าแบบบูสต์เรียงต่อ กันสามชั้นประกอบด้วยอินพุตสำหรับตัวควบคุมฟ์ซซี (FC Inputs) กระบวนการควบคุมฟ์ซซี (FC Process) และเอาต์พุตของตัวควบคุมฟ์ซซี (FC Output) แสดงดังรูปที่ 4.1



รูปที่ 4.1 โครงสร้างการควบคุมฟ์ซซีที่พัฒนาขึ้นสำหรับวงจรแปลงผันกำลังไฟฟ้าแบบบูสต์เรียงต่อ กันสามชั้น

จากโครงสร้างการควบคุมฟ์ซซีดังแสดงในรูปที่ 4.1 จะเห็นได้ว่าอินพุตสำหรับตัวควบคุมฟ์ซซีที่พัฒนาขึ้นประกอบด้วยสองส่วนสำคัญคือแรงดันเอาต์พุต ( $V_O$ ) และกระแสที่แหล่งน้ำหนาตัวแรก ( $i_{L1}$ ) โดยอินพุตค่าแรกของตัวควบคุมฟ์ซซีคือค่าความผิดพลาดของแรงดัน ( $\Delta V$ ) เป็นค่าผลต่างระหว่างแรงดันอ้างอิง  $V_{ref}$  และ  $V_O$  แสดงดังสมการ (4.1)

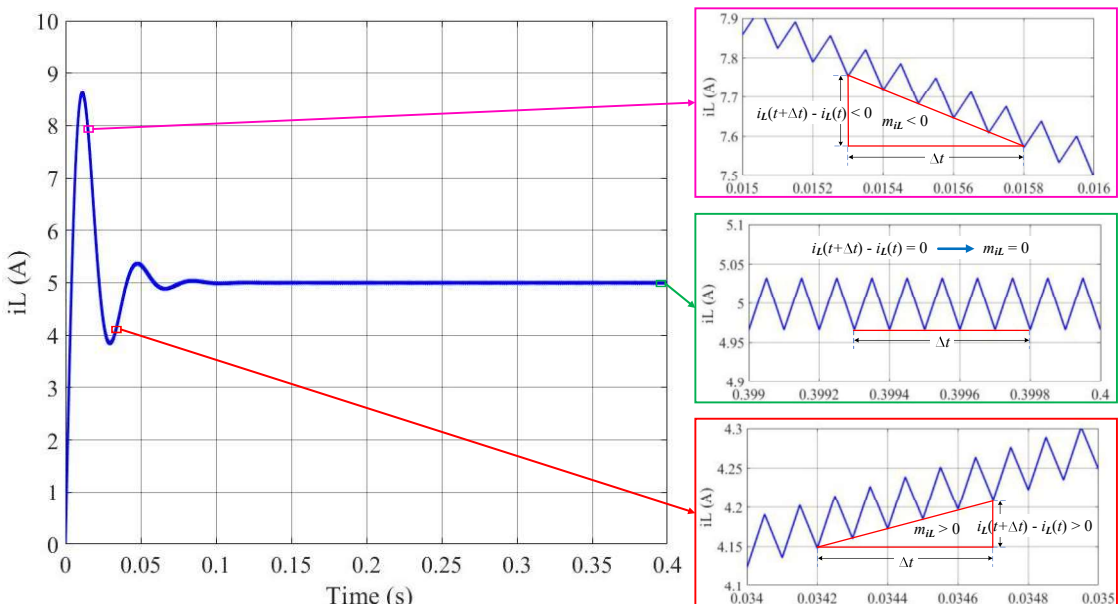
$$\Delta V = V_{ref} - V_O \quad (4.1)$$

ก่อนนำค่า  $\Delta V$  เข้าสู่กระบวนการฟื้ซซี ได้ดำเนินการปรับค่าสเกล หรือเรียกว่าการนอร์มัลไลซ์ (Normalization) เพื่อให้ค่า  $\Delta V$  อยู่ภายในขอบเขตที่การควบคุมฟื้ซซี สามารถทำงานได้อย่างครอบคลุม โดยหารค่า  $\Delta V$  ด้วย  $V_{ref}$  และจึงเข้าสู่กระบวนการฟื้ซซีต่อไป

ส่วนอินพุตค่าที่สองของตัวควบคุมฟื้ซซีคืออัตราการเปลี่ยนแปลงกระแสตัวเห็นี่ยวน้ำตัวที่หนึ่งต่อการเปลี่ยนแปลงเวลา หรือความชันกระแสที่แหล่งผ่านตัวเห็นี่ยวน้ำตัวที่หนึ่ง ( $m_{iL1}$ ) ดังแสดงในสมการ (4.2) ซึ่งเป็นค่าผลต่างระหว่างกระแสที่แหล่งผ่านตัวเห็นี่ยวน้ำตัวที่หนึ่ง ณ เวลาใด ๆ ( $i_{L1}(t)$ ) และกระแสที่แหล่งผ่านตัวเห็นี่ยวน้ำตัวที่หนึ่งในอดีต ( $i_{L1}(t-\Delta t)$ ) ส่วนด้วยการเปลี่ยนแปลงของเวลา ( $\Delta t$ )

$$m_{iL1} = \frac{i_{L1}(t) - i_{L1}(t-\Delta t)}{\Delta t} \quad (4.2)$$

ทั้งนี้การพิจารณาค่า  $\Delta t$  จะกำหนดให้มีค่ามากกว่าcabการสวิตช์  $T_s$  โดยรูปที่ 4.2 แสดงความสัมพันธ์ระหว่างสัญญาณการสวิตช์ ( $u(t)$ ) และ  $i_{L1}$  โดยเมื่อสวิตช์นำกระแส (ON) พบร้าว่าค่ากระแส  $i_{L1}$  จะมีค่าเพิ่มขึ้นจากการสะสมพลังงาน ดังนั้น  $m_{iL1}$  จะเป็นบวก และหากสวิตช์หยุดนำกระแส (OFF) จะทำให้ค่ากระแส  $i_{L1}$  มีค่าลดลงจากการรายพลังงาน ดังนั้น  $m_{iL1}$  จะเป็นลบ



รูปที่ 4.2 ความสัมพันธ์ระหว่างสัญญาณการสวิตช์ และกระแสที่แหล่งผ่านตัวเห็นี่ยวน้ำตัวที่ 1

ก่อนนำค่า  $m_{IL1}$  เข้าสู่กระบวนการพื้นที่จะดำเนินการปรับค่าสเกล เพื่อให้  $m_{IL1}$  อยู่ภายในขอบเขตการควบคุมพื้นที่ สามารถทำงานได้อย่างครอบคลุม โดยทำการหารด้วยค่าความชันอ้างอิง ( $m_{ref}$ ) และจึงเข้าสู่กระบวนการพื้นที่ต่อไป จากการสังเกตพฤติกรรมการทำงานของวงจรแปลงผันกำลังไฟฟ้าแบบบุสต์เรียงต่อกันสามขั้น ค่า  $m_{ref}$  สามารถพิจารณาได้จาก  $\Delta i_{L1}$  ในช่วงสภาวะอยู่ตัวดังแสดงในสมการที่ (3.43) ที่ได้จากการออกแบบค่าพารามิเตอร์ตัวหนีบเนี้ยงตัวที่หนึ่ง และค่า  $\Delta t$  ที่พิจารณาไว้ ดังแสดงในสมการที่ (4.3) โดยที่  $D$  คือค่าวัฏจักรหน้าที่ของสวิตช์ทั้งสามที่ทำงานพร้อมกัน

$$m_{ref} \geq \frac{\Delta i_{L1}}{\Delta t} = \frac{DV_{in}}{\Delta tf_s L_1} \quad (4.3)$$

จากสมการที่ (4.3) หากค่า  $m_{ref}$  มีค่าน้อยจะส่งผลให้การทำงานของวงจรเข้าสู่สภาวะอยู่ตัวซ้ำ จะได้ค่ากระแสอ้างอิง ( $I_{ref}$ ) ดังสมการที่ (4.4) ซึ่งจะนำไปใช้ในการอิบายหลักการออกแบบกฎทางพื้นที่ในขั้นต่อไป

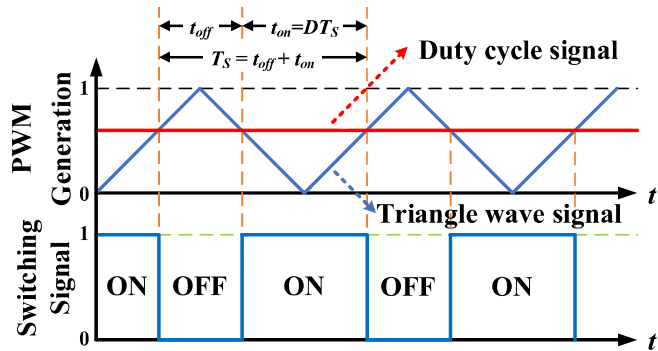
$$I_{ref} = m_{ref} \Delta t \quad (4.4)$$

เอกสารพุทธของตัวควบคุมพื้นที่คือการเปลี่ยนแปลงของค่าวัฏจักรหน้าที่สวิตช์ ( $\Delta D$ ) จำนวนนี้จะเข้าสู่กระบวนการสร้างค่าวัฏจักรหน้าที่สวิตช์ (Duty cycle generation) โดยค่าวัฏจักรหน้าที่สวิตช์ ในปัจจุบัน ( $D_n$ ) จะได้จากการนำค่าวัฏจักรหน้าที่ก่อนหน้า ( $D_{n-1}$ ) บวกกับการเปลี่ยนแปลงของค่าวัฏจักรหน้าที่สวิตช์ปัจจุบัน ( $\Delta D$ ) ดังสมการที่ (4.5)

$$D_n = D_{n-1} + \Delta D \quad (4.5)$$

เอกสารพุทธของตัวควบคุมพื้นที่  $\Delta D$  อาจมีค่าเป็นบวก ศูนย์ หรือลบ เพื่อปรับค่าวัฏจักรหน้าที่สวิตช์เพิ่มขึ้นหรือลดลงเหมาะสมต่อการควบคุมการทำงานวงจรแปลงผันกำลังไฟฟ้าแบบบุสต์เรียงต่อกันสามขั้นโดยจะขึ้นอยู่กับการออกแบบกฎในระบบพื้นที่ของผู้เชี่ยวชาญ สุดท้ายจะเข้าสู่กระบวนการสร้างสัญญาณการสวิตช์ (Pulse width modulation generation) สำหรับสวิตช์ทั้งสามตัว โดยการเปรียบเทียบระหว่างค่า  $D$  กับสัญญาณรายค่ารูปฟันเลื่อย (Sawtooth wave signal) หรือสัญญาณรายค่ารูปสามเหลี่ยม (Triangle wave signal) โดยหากค่าวัฏจักรหน้าที่สวิตช์มากกว่า หรือเท่ากับ

สัญญาณรายคาบรูปสามเหลี่ยมจะให้สัญญาณการสวิตช์ที่เป็นเปิด (ON) หรือสวิตช์นำกระแส ในทางตรงกันข้ามหากค่าวัดจกรหน้าที่สวิตช์น้อยกว่าสัญญาณรายคาบรูปสามเหลี่ยมจะให้สัญญาณการสวิตช์ที่เป็นปิด (OFF) หรือสวิตช์หยุดนำกระแส ซึ่งสามารถแสดงสัญญาณการสวิตช์ดังรูปที่ 4.3



รูปที่ 4.3 กระบวนการสร้างสัญญาณการสวิตช์ (PWM generation)

จากการศึกษาพัฒนาระบบการทำงานของวงจรแปลงผันกำลังไฟฟ้าแบบบุสต์เรียงต่อ กันสามชั้น พบว่าเมื่อค่า  $D$  เพิ่มขึ้น ส่งผลให้  $i_{L1}$  และ  $V_O$  เพิ่มขึ้น ในตรงกันข้ามหากค่า  $D$  ลดลง ส่งผลให้  $i_{L1}$  และ  $V_O$  ลดลงเช่นกัน

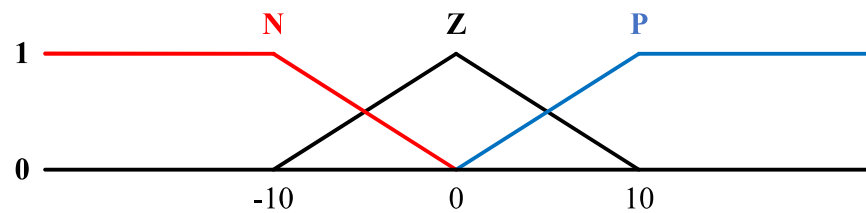
จุดประสงค์ของการออกแบบตัวควบคุมฟิล์ชีคือต้องการให้ผลตอบสนองของ  $V_O$  ไม่เกิดการพุ่งเกินในสภาวะชั่วครู่ และเข้าสู่สภาวะอยู่ตัวอย่างรวดเร็ว จำเป็นต้องควบคุม  $i_{L1}$  ให้มีความชันตามต้องการ ด้วยการปรับค่า  $D$  ในการออกแบบตัวควบคุมฟิล์ชีนั้นได้นิยามความหมายของ  $\Delta V$  ในรูปของภาษา “Negative: N”, “Zero: Z” และ “Positive: P” ซึ่งหมายถึง  $V_O > V_{ref}$ ,  $V_O = V_{ref}$  และ  $V_O < V_{ref}$  ตามลำดับ ในส่วนของ  $m_{iL1}$  ถูกพิจารณาให้อยู่ในรูปของภาษา “Negative Large: NL”, “Negative Medium: NM” “Zero: Z” “Positive Medium: PM” และ “Positive Large: PL” รายละเอียดตัว выражทางภาษาจะกล่าวในหัวข้อถัดไป

#### 4.2.1 พังก์ชันสมาชิก (Membership Function)

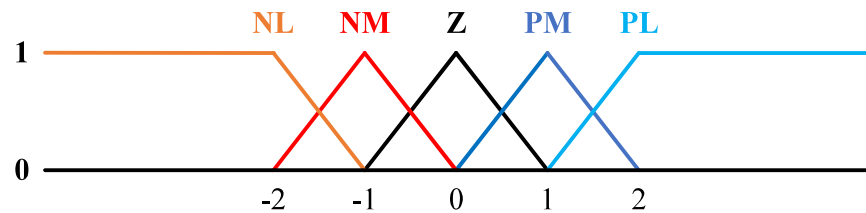
จากการพัฒนาระบบการทำงานของวงจรแปลงผันกำลังไฟฟ้าแบบบุสต์เรียงต่อ กันสามชั้น สามารถพิจารณาพังก์ชันสมาชิกระหว่างฟิล์ชีเซตของค่า  $\Delta V$  และ  $m_{iL1}$  ที่ถูกน้อมร์มัลไลซ์แล้วให้อยู่ในขอบเขตที่เหมาะสม ดังรูปที่ 4.4 และ 4.5 ตามลำดับ

สำหรับพังก์ชันสมาชิกของ  $\Delta V/V_{ref}$  และ  $m_{iL1}/m_{ref}$  ใช้รูปร่างของพังก์ชันสมาชิก เป็นแบบสามเหลี่ยม (Triangular) และรูปสี่เหลี่ยมคงที่ (Trapezoidal) อีกทั้งยังสามารถออกแบบ ให้มีขอบเขตระหว่างเซตที่มีการทับซ้อนแสดงด้วยเส้นตรงที่มีความชัน ซึ่งทำให้ค่าของตัวแปรสามารถ มีค่าความเป็นสมาชิกทับซ้อนระหว่างสองเซตได้ พังก์ชันสมาชิกนี้เป็นส่วนสำคัญที่ทำให้ระบบฟิล์ชี

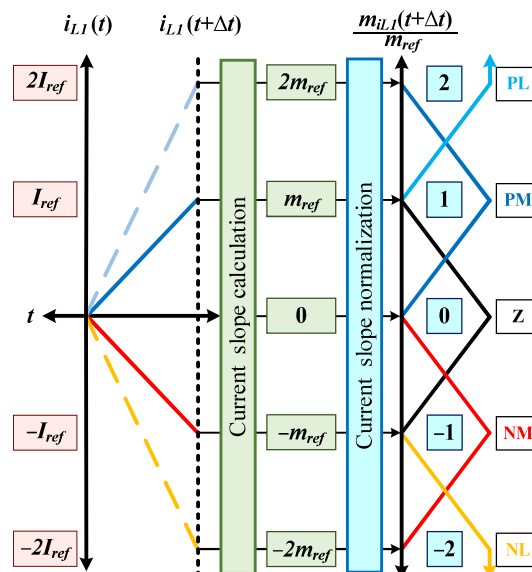
ลองจิอกสามารถจำลองความรู้จากการสังเกตพฤติกรรมการทำงานต่าง ๆ ของวงจร ในการออกแบบ ขอบเขตระหว่างเซตจะพิจารณาวงจรแปลงผันกำลังไฟฟ้าแบบบูสต์เรียงต่อกันสามขั้นที่มีแหล่งจ่ายไฟฟ้า 20V และต้องการแรงดันเอาต์พุตเป็น 400V สำหรับโหลดตัวต้านทาน  $1600\Omega$  ซึ่งจะได้กำลังไฟฟ้าเป็น 100W อย่างไรก็ตามตัวควบคุมฟซซีที่พัฒนาขึ้นยังสามารถทำงานได้อย่างมีประสิทธิผลถึงแม้จะมีการเปลี่ยนแปลงจุดการทำงานของแหล่งจ่ายแรงดัน แรงดันอ้างอิง และโหลดตัวต้านทาน ซึ่งจุดการทำงานที่เปลี่ยนไปนั้น ส่งผลโดยตรงต่อกำลังไฟฟ้าเอาต์พุตให้เปลี่ยนแปลงไปด้วย



รูปที่ 4.4 พังก์ชันสมากิโนร์มัลไลซ์ของความผิดพลาดของแรงดัน ( $\Delta V/V_{ref}$ )



รูปที่ 4.5 พังก์ชันสมากิโนร์มัลไลซ์ของความชันกระแสที่โหลดผ่านตัวเหนี่ยวนำตัวที่ 1 ( $m_{iL1}/m_{ref}$ )



รูปที่ 4.6 ความสัมพันธ์ของ  $i_{L1}$  ณ เวลาใด ๆ และพังก์ชันสมากิก  $m_{iL1}/m_{ref}$

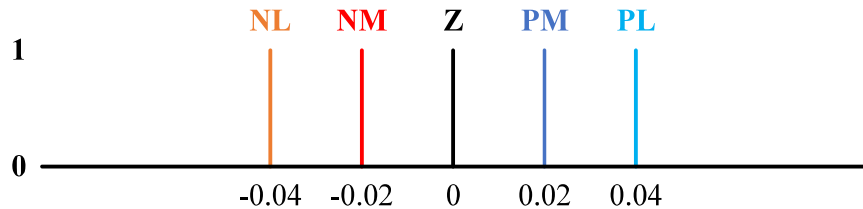
เมื่อพิจารณา  $i_{L1}$  ณ เวลาใด ๆ สามารถหาความสัมพันธ์ร่วมกับฟังก์ชันสมาชิกของ  $m_{iL1}/m_{ref}$  ในช่วง  $\Delta t$  ที่พิจารณา ร่วมกับค่า  $I_{ref}$  ในสมการที่ (4.4) ซึ่งแบ่งออกได้เป็น 5 กรณี ดังนี้

- หาก  $i_{L1}(t+\Delta t) - i_{L1}(t) = 2I_{ref}$  จะได้  $m_{iL1}/m_{ref} = 2$  ที่เป็นสมาชิกของเซต PL
- หาก  $i_{L1}(t+\Delta t) - i_{L1}(t) = I_{ref}$  จะได้  $m_{iL1}/m_{ref} = 1$  ที่เป็นสมาชิกของเซต PM
- หาก  $i_{L1}(t+\Delta t) - i_{L1}(t) = 0$  จะได้  $m_{iL1}/m_{ref} = 0$  ที่เป็นสมาชิกของเซต Z
- หาก  $i_{L1}(t+\Delta t) - i_{L1}(t) = -I_{ref}$  จะได้  $m_{iL1}/m_{ref} = -1$  ที่เป็นสมาชิกของเซต NM
- หาก  $i_{L1}(t+\Delta t) - i_{L1}(t) = -2I_{ref}$  จะได้  $m_{iL1}/m_{ref} = -2$  ที่เป็นสมาชิกของเซต NL

จากความสัมพันธ์ของ  $i_{L1}$  ณ เวลาใด ๆ และฟังก์ชันสมาชิก  $m_{iL1}/m_{ref}$  แสดงได้ดังรูป

ที่ 4.6

ส่วนฟังก์ชันสมาชิกของ  $\Delta D$  จะใช้รูปร่างของฟังก์ชันสมาชิกเป็นค่าคงที่เส้นตรงในรูปที่ 4.7 ซึ่งเป็นรูปแบบการอนุमานฟuzzified Sugeno (Sugeno fuzzy inference) ซึ่งจะกล่าวในหัวข้อถัดไป



รูปที่ 4.7 ฟังก์ชันสมาชิกของการเปลี่ยนแปลงของค่าวัฏจักรหน้าที่สวิตซ์ ( $\Delta D$ )

#### 4.2.2 ตัวแปรภาษา (Linguistic variable)

ระบบฟuzzified จะสังเกตได้ว่าฟuzzified ตัวแปรฟuzzified ที่ทำหน้าที่ระบุค่าความเป็นสมาชิกของตัวแปรภายในระบบ จะสามารถเรียกว่าเป็นตัวแปรฟuzzified ตัวแปรฟuzzified จะให้ค่าเป็นคำพูดที่มีความหมายตามที่ต้องการที่เป็นภาษาคำพูดของมนุษย์ ไม่ใช่คอมพิวเตอร์ หรือเครื่องจักร ดังนั้นระบบฟuzzified จึงเป็นระบบที่จำลองการสื่อสารของมนุษย์ เช่น ระบบผู้เชี่ยวชาญ (Expert system) มีการใช้ตัวแปรภาษาในการกำหนดกฎเกณฑ์ภายในระบบ

จากโครงสร้างการควบคุมฟuzzified สำหรับวงจรแปลงผันกำลังไฟฟ้าแบบบูสต์เรียงต่อ กันสามชั้นที่พัฒนาขึ้นดังแสดงในรูปที่ 4.1 เมื่อปริมาณในระบบมีการเปลี่ยนแปลง ตัวแปรที่เกี่ยวข้องในส่วนที่เป็นฟuzzified จะต้องมีการควบคุมให้มีการเปลี่ยนแปลงให้เหมาะสมด้วย โดยตัวแปรที่ใช้สำหรับคำสั่งของระบบคือค่า  $\Delta V$  และ  $m_{iL1}$  หลังจากนั้นอินพุตดังกล่าวจะถูกน้อมูลໄเลซ์ให้อยู่ในขอบเขตที่

ต้องการก่อนเข้าสู่กระบวนการฟิชซี ดังนั้นระบบในที่นี้จึงมี 2 อินพุต และ 1 เอ้าต์พุตที่เป็น  $\Delta D$  แสดงในตารางที่ 4.1 โดยตัวแปรภาษา และค่าเชิงภาษา มีรายละเอียดดังนี้

ตารางที่ 4.1 ตัวแปรภาษาของตัวควบคุมฟิชซีสำหรับวงจรแปลงผันกำลังไฟฟ้าแบบบูสต์เรียงต่อกันสามขั้น

พารามิเตอร์	ตัวแปร	ความหมาย	ตัวแปรภาษา	ความหมายตัวแปร
อินพุตที่ 1	$\Delta V/V_{ref}$	ค่านอร์มัลไลซ์ของความผิดพลาดของแรงดัน	Negative: N Zero: Z Positive: P	ลบ ศูนย์ บวก
อินพุตที่ 2	$m_{IL1}/m_{ref}$	ค่ามัลไทซ์ของความชันกระแสที่แหล่งไฟฟ้านั้นๆ เห็นอย่างเดียวที่ 1	Negative Large: NL Negative Medium: NM Zero: Z Positive Medium: PM Positive Large: PL	ลบมาก ลบปานกลาง ศูนย์ บวกปานกลาง บวกมาก
เอ้าต์พุต	$\Delta D$	การเปลี่ยนแปลงของค่าวัสดุจัดหน้าที่สวิตซ์	Negative Large: NL Negative Medium: NM Zero: Z Positive Medium: PM Positive Large: PL	ลบมาก ลบปานกลาง ศูนย์ บวกปานกลาง บวกมาก

#### 4.2.3 กฎของฟิชซี (Fuzzy Rule)

กฏของฟิชซีเป็นวิธีการนำเอาความเข้าใจพฤติกรรมการทำงานของวงจรจากผู้สังเกตการณ์มาออกแบบให้อยู่ในระบบฟิชซีโลจิก กฏของฟิชซีประกอบไปด้วยสองส่วนหลักคือส่วนถ้า (IF) และส่วนแล้ว (THEN) เมื่อค่าเงื่อนไขใน IF เป็นจริง ส่วน THEN จะถูกประเมิน ในทฤษฎีฟิชซี ค่าเงื่อนไขใน IF จะมีความเป็นฟิชซีในระดับหนึ่ง ส่วน THEN จะถูกประเมินค่าด้วยค่าระดับความเป็นสมาชิก ซึ่งจะให้ค่าที่สัมพันธ์ในระดับนั้น ๆ ด้วย ค่าเงื่อนไขในส่วนของ IF ยังสามารถมีได้หลายค่า เช่นเดียวกันกับส่วน THEN ทุกเงื่อนไขในส่วน IF จะถูกประเมินพร้อม ๆ กัน และรวมกันด้วยปฏิบัติการทางเซต โดยปกติมักจะจำกัดจำนวนค่าเงื่อนไขในระบบไม่ให้มีมากเกินไป โดยการเลือกใช้กฎที่จำเป็นเท่านั้น การควบคุมฟิชซีสำหรับวงจรแปลงผันกำลังไฟฟ้าแบบบูสต์เรียงต่อกันสามขั้นซึ่งมี

สองอินพุต ได้แก่  $\Delta V/V_{ref}$  และ  $m_{iL1}/m_{ref}$  และเอาต์พุตคือ  $\Delta D$  สามารถแสดงได้ดังตารางที่ 4.2 รูปแบบการแสดงถึงความจำพื้นที่สัมพันธ์ (Fuzzy associative memory) ซึ่งการออกแบบกฎของพื้นที่ระหว่างตัวแปรทั้ง 3 มีดังนี้

1 <sup>st</sup>	IF $\Delta V/V_{ref} = N$ AND $m_{iL1}/m_{ref} = PL$	THEN $\Delta D = NL$
2 <sup>nd</sup>	IF $\Delta V/V_{ref} = N$ AND $m_{iL1}/m_{ref} = PM$	THEN $\Delta D = NL$
3 <sup>rd</sup>	IF $\Delta V/V_{ref} = N$ AND $m_{iL1}/m_{ref} = Z$	THEN $\Delta D = NM$
4 <sup>th</sup>	IF $\Delta V/V_{ref} = N$ AND $m_{iL1}/m_{ref} = NM$	THEN $\Delta D = Z$
5 <sup>th</sup>	IF $\Delta V/V_{ref} = N$ AND $m_{iL1}/m_{ref} = NL$	THEN $\Delta D = PM$
6 <sup>th</sup>	IF $\Delta V/V_{ref} = Z$ AND $m_{iL1}/m_{ref} = PL$	THEN $\Delta D = NL$
7 <sup>th</sup>	IF $\Delta V/V_{ref} = Z$ AND $m_{iL1}/m_{ref} = PM$	THEN $\Delta D = NM$
8 <sup>th</sup>	IF $\Delta V/V_{ref} = Z$ AND $m_{iL1}/m_{ref} = Z$	THEN $\Delta D = Z$
9 <sup>th</sup>	IF $\Delta V/V_{ref} = Z$ AND $m_{iL1}/m_{ref} = NM$	THEN $\Delta D = PM$
10 <sup>th</sup>	IF $\Delta V/V_{ref} = Z$ AND $m_{iL1}/m_{ref} = NL$	THEN $\Delta D = PL$
11 <sup>th</sup>	IF $\Delta V/V_{ref} = P$ AND $m_{iL1}/m_{ref} = PL$	THEN $\Delta D = NM$
12 <sup>th</sup>	IF $\Delta V/V_{ref} = P$ AND $m_{iL1}/m_{ref} = PM$	THEN $\Delta D = Z$
13 <sup>th</sup>	IF $\Delta V/V_{ref} = P$ AND $m_{iL1}/m_{ref} = Z$	THEN $\Delta D = PM$
14 <sup>th</sup>	IF $\Delta V/V_{ref} = P$ AND $m_{iL1}/m_{ref} = NM$	THEN $\Delta D = PL$
15 <sup>th</sup>	IF $\Delta V/V_{ref} = P$ AND $m_{iL1}/m_{ref} = NL$	THEN $\Delta D = PL$

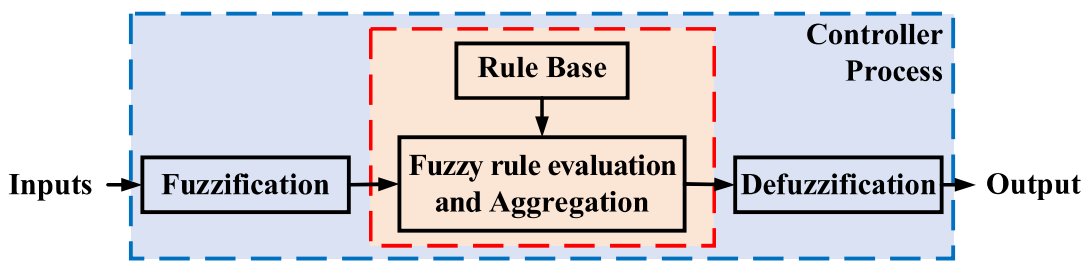
ตารางที่ 4.2 หน่วยความจำพื้นที่สัมพันธ์ของตัวควบคุมพื้นที่สำหรับวงจรแปลงผันกำลังไฟฟ้าแบบบูสต์ เรียงต่อกันสามขั้นที่พัฒนาขึ้น

$m_{iL1}/m_{ref}$	$\Delta V/V_{ref}$		
	N	Z	P
PL	NL	NL	NM
PM	NL	NM	Z
Z	NM	Z	PM
NM	Z	PM	PL
NL	PM	PL	PL

กฎพื้นที่ทั้ง 15 กฎนี้จะใช้สำหรับควบคุมการทำงานของจรวดแบบผันกำลังไฟฟ้าแบบบูสต์เรียงต่อกันสามขั้น ซึ่งจะกล่าวถึงในหัวข้อกระบวนการควบคุม

#### 4.2.4 การอนุมานพื้นที่ (Fuzzy Inference)

การอนุมานพื้นที่สามารถนิยามว่าเป็นการส่งค่า (Mapping) จากค่าอินพุตของระบบไปยังเอ้าร์พุต โดยใช้หลักการของทฤษฎีเซต การอนุมานพื้นที่แบบ Sugeno (Sugeno fuzzy inference) ถูกใช้สำหรับการควบคุมพื้นที่สำหรับวงจรแบบผันกำลังไฟฟ้าแบบบูสต์เรียงต่อกันสามขั้นที่พัฒนาขึ้น ประกอบด้วย 4 ขั้นตอน ได้แก่ การทำพื้นที่ การประเมินกฎของพื้นที่ การรวมกฎ และการทำพื้นที่ดังรูปที่ 4.8 ซึ่งมีรายละเอียดต่อไปนี้



รูปที่ 4.8 โครงสร้างของการควบคุมแบบพื้นที่

การทำพื้นที่ (Fuzzification) คือการคำนวณหาค่าระดับความเป็นสมาชิกของเขตค่าตัวแปรเชิงภาษาของตัวแปรในระบบ ในขั้นตอนแรกของการอนุมานพื้นที่จะต้องทำการหาค่าระดับความเป็นสมาชิกของเขตดังกล่าวของตัวแปรอินพุต ซึ่งค่าของตัวแปรอินพุตที่เข้ามาสู่ในระบบ จะอยู่ในรูปของค่าเชิงตัวเลข หลังจากนั้นแล้วค่าระดับความเป็นสมาชิกของอินพุตค่านั้น ๆ จะสามารถหาได้จากฟังก์ชันสมาชิก การทำพื้นที่ของตัวแปรอินพุตจะขึ้นอยู่กับกฎของพื้นที่ด้วยเช่นกัน เนื่องจากสำหรับอินพุตค่าหนึ่ง ๆ จะมีผลต่อกฎของพื้นที่บางข้อเท่านั้น

การควบคุม (Controller) ประกอบด้วยสองส่วนประกอบด้วยส่วนที่หนึ่งคือการการประเมินค่าของตัวแปรที่ได้ในกฎของพื้นที่ (Fuzzy rule evaluation) จะเป็นขั้นตอนถัดไปหลังจากคำนวณหาค่าระดับความเป็นสมาชิกของอินพุตทั้งหมด ซึ่งจะเป็นส่วน IF จุดประสงค์เพื่อทำการประเมินว่าค่าเงื่อนไขจากอินพุตนั้นจะทำให้กฎใดต้องกระทำในส่วน THEN ต่อไป ซึ่งอาจจะมีกฎในเงื่อนไขดังกล่าวมากกว่าหนึ่งกฎพร้อม ๆ กัน เนื่องมาจากมีอินพุตมากกว่าหนึ่ง เงื่อนไขของแต่ละอินพุตจะถูกประเมินค่าด้วยตัวกระทำของพื้นที่เซต เพื่อให้ได้ผลลัพธ์สุดท้ายเป็นค่าตัวเลขที่สามารถนำไปประเมินค่าส่วน THEN ซึ่งภายหลังจะถูกนำไปประเมินเพื่อหาค่าระดับความเป็นสมาชิกของตัวแปรเอ้าร์พุตในขั้นตอนต่อไป ส่วนที่สองคือการรวมกฎ (Aggregation) เป็นกระบวนการหลังจาก

ต่าง ๆ ถูกประเมินค่าแล้ว กฎที่มีผลไม่เท่ากับศูนย์จะถูกรวบเข้าด้วยกันโดยการรวมผลลัพธ์ของ พังก์ชันสมาชิกที่ผ่านการประเมินค่า หรือปรับขนาดทั้งหมดเข้าด้วยกันเป็นเซตเดียวสำหรับแต่ละตัว แอร์โตร์พุต การรวมกฎจะใช้ตัวกระทำอยู่เนื่องในขั้นตอนต่อไปจะนำผลการรวมกฎนี้ไปแปลงเป็นค่า ตัวเลขเดียวเพื่อนำเอาไปใช้ในการประมวลผลต่อไป

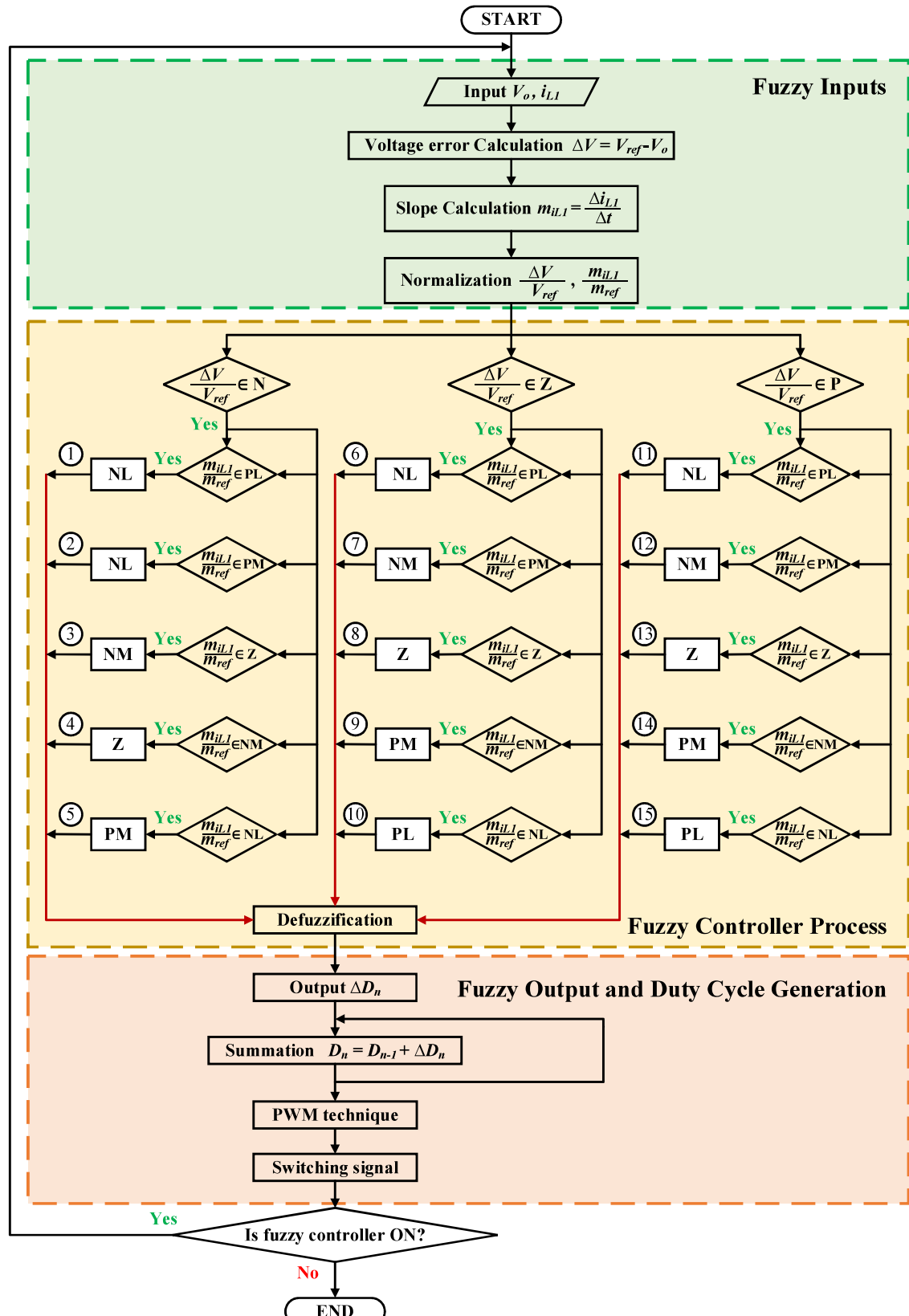
การทำดีฟัซซี (Defuzzification) จากขั้นตอนแรกมาจนถึงขั้นตอนนี้ ค่าต่าง ๆ ในระบบเป็นค่าฟัซซี ไม่ว่าจะเป็นอินพุต กฎต่าง ๆ หรือเอาต์พุต ค่าของเอาต์พุตจะต้องถูกแปลงให้อยู่ในรูปที่สามารถใช้งานได้จริง ซึ่งค่าเหล่านี้ไม่สามารถเป็นค่าฟัซซีได้ เพราะค่าฟัซซีจะเป็นที่เข้าใจภายใต้ระบบฟัซซีเท่านั้น ดังนั้นค่าสุดท้ายจากเอาต์พุตของระบบจะต้องเป็นค่าชัดเจน (Crisp value) การทำดีฟัซซีคือขั้นตอนในการแปลงค่าจากผลการรวมกฎให้อยู่ในรูปของค่าชัดเจน

สำหรับการอนุமานฟัซซีแบบ Sugeno (Sugeno fuzzy inference) ค่าเอาต์พุตของแต่ละกฎจะเป็นเส้นตรงโน่น ดังรูปที่ 4.7 ค่าเอาต์พุตที่ได้จากการทำดีฟัซซีนี้เรียกว่าค่าน้ำหนักเฉลี่ย (Weighted average: WA) ดังสมการที่ (4.6)

$$\Delta D = \frac{\sum_{i=1}^N y_i u_i}{\sum_{i=1}^N u_i} \quad (4.6)$$

โดยที่	$y_i$	คือ เอาต์พุตจากแต่ละกฎ
	$u_i$	คือ เอาต์พุตของแต่ละสมาชิกฟังก์ชัน
	$N$	คือ จำนวนกฎ

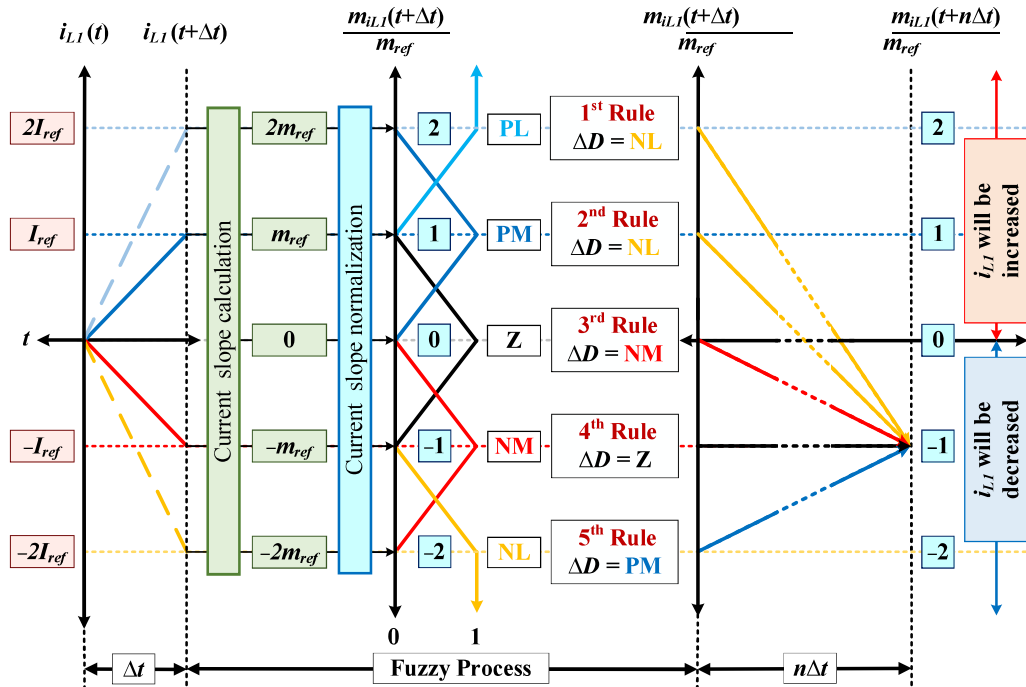
จากการออกแบบการควบคุมฟัซซีสำหรับวงจรแปลงผันกำลังไฟฟ้าแบบบูสต์เรียงตอกันสามขั้นที่กล่าวมาข้างต้น สามารถอธิบายด้วยโครงสร้างการควบคุมฟัซซีดังรูปที่ 4.9 โดยค่าวัสดุจกรหน้าที่สวิตซ์ในปัจจุบัน ( $D_n$ ) จะได้จากการนำค่าวัสดุจกรหน้าที่ก่อนหน้า ( $D_{n-1}$ ) บวกกับการเปลี่ยนแปลงของค่าวัสดุจกรหน้าที่สวิตซ์ปัจจุบัน ( $\Delta D$ )



รูปที่ 4.9 โครงสร้างการควบคุมไฟฟ้าแบบบุสต์เรียงต่อกันสามชั้น

#### 4.2.5 กระบวนการควบคุม (Control Process)

จากการสังเกตพฤติกรรมการทำงานของวงจรแปลงผันกำลังไฟฟ้าแบบบูสต์เรียงต่อ กันสามารถสามารถออกแบบการควบคุมพื้นฐาน โดยพิจารณาพังก์ชันสมाचิกของ  $\Delta V/V_{ref}$  อีกทั้ง หน่วยความจำพื้นที่สำรองตั้งตารางที่ 4.2 สามารถแยกกระบวนการควบคุมออกได้เป็น 3 กรณี ซึ่ง สามารถอธิบายได้ดังนี้

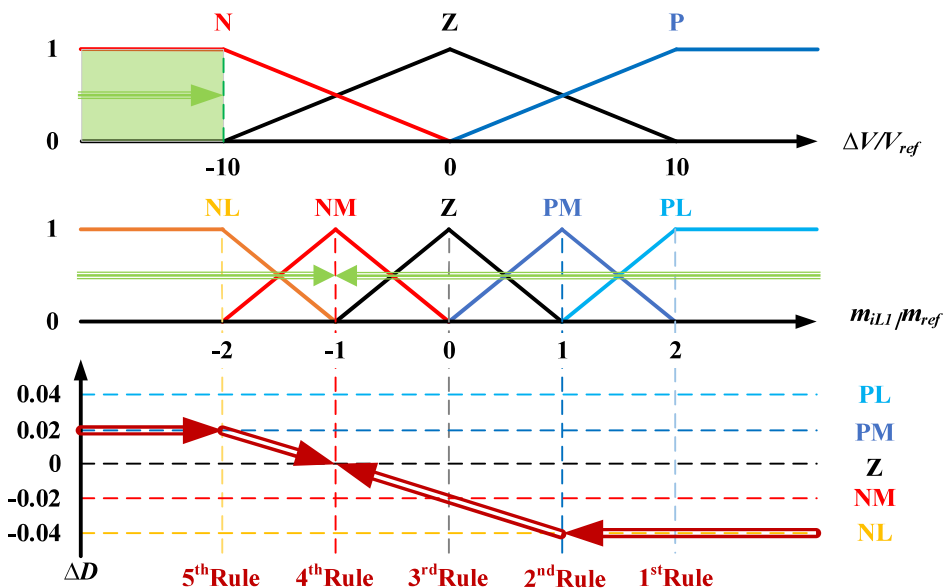


รูปที่ 4.10 กระบวนการฟื้นฟูของ  $i_{L1}$  ณ เวลาใด ๆ กรณีที่  $\Delta V/V_{ref} \in N$

กรณีที่ 1  $\Delta V/V_{ref}$  เป็นสมາชิกของเลขลบ ( $\Delta V/V_{ref} \in N$ ) ก็ต่อเมื่อ  $V_O$  มีค่ามากกว่า  $V_{ref}$  กระบวนการฟื้นฟูของ  $i_{L1}$  ณ เวลาใด ๆ พบร่วมความเป็นไปได้ที่จะเข้าเงื่อนไขกฎพื้นที่ข้อที่ 1 ถึง กฎที่ 5 กระบวนการดังกล่าวสามารถอธิบายได้ดังนี้

- 1) กฎพื้นที่ข้อที่ 1 เมื่อ  $m_{iL1}/m_{ref}$  เป็นบวกค่ามากอยู่ในเขต PL หมายถึง  $i_{L1}$  ณ เวลาที่พิจารณากำลังเพิ่มขึ้นสูงมาก ดังนั้นตัวควบคุมพื้นที่ต้องลดค่า  $D$  โดยการสร้าง  $\Delta D$  ที่ติดลบมาก (NL) เพื่อทำให้ค่า  $m_{iL1}$  ลดลงมากเข้าหา  $-m_{ref}$
- 2) กฎพื้นที่ข้อที่ 2 เมื่อ  $m_{iL1}/m_{ref}$  มีค่าบวกปานกลางอยู่ในเขต PM หมายถึง  $i_{L1}$  ณ เวลาที่พิจารณากำลังเพิ่มขึ้นสูงไม่มากนัก ดังนั้นตัวควบคุมพื้นที่ต้องลดค่า  $D$  โดยการสร้าง  $\Delta D$  ที่ติดลบมาก (NL) เพื่อทำให้ค่า  $m_{iL1}$  ลดลงมากเข้าหา  $-m_{ref}$

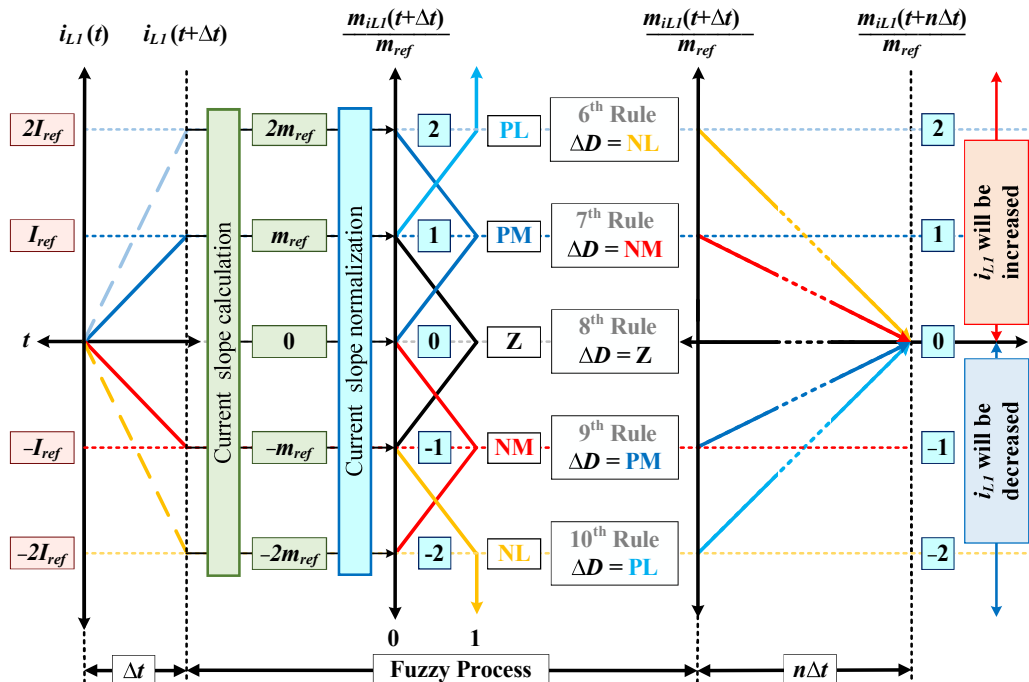
- 3) กฎพื้นฐานข้อที่ 3 เมื่อ  $m_{iL1}/m_{ref}$  มีค่าประมาณศูนย์อยู่ในเขต  $Z$  หมายถึง  $i_{L1}$  ณ เวลาที่พิจารณาไม่เปลี่ยนแปลง ดังนั้นตัวควบคุมพื้นที่ต้องลดค่า  $D$  โดยการสร้าง  $\Delta D$  ที่ติดลบปานกลาง (NM) เพื่อจะทำให้  $m_{iL1}$  ลดลงไม่มากนักเข้าหา  $-m_{ref}$
- 4) กฎพื้นฐานข้อที่ 4 เมื่อ  $m_{iL1}/m_{ref}$  มีค่าลบปานกลางอยู่ในเขต NM หมายถึง  $i_{L1}$  ณ เวลาที่พิจารณาทำลังลดลงไม่มากนัก ดังนั้นตัวควบคุมพื้นที่ต้องคงค่า  $D$  โดยการสร้าง  $\Delta D$  ที่เป็นศูนย์ ( $Z$ ) เพื่อจะทำให้  $m_{iL1}$  มีค่าลบพอตีประมวล  $-m_{ref}$
- 5) กฎพื้นฐานข้อที่ 5 เมื่อ  $m_{iL1}/m_{ref}$  มีค่าลบมากอยู่ในเขต NL หมายถึง  $i_{L1}$  ณ เวลาที่พิจารณาทำลังลดลงมาก ดังนั้นตัวควบคุมพื้นที่ต้องเพิ่มค่า  $D$  โดยการสร้าง  $\Delta D$  ที่บวกปานกลาง (PM) เพื่อจะทำให้ค่า  $m_{iL1}$  มีค่าเพิ่มขึ้นไม่มากนักเข้าหา  $-m_{ref}$
- จะเห็นได้ว่าเมื่อ  $V_O$  มีค่ามากกว่า  $V_{ref}$  ส่งผลให้ตัวควบคุมพื้นที่จะสร้าง  $\Delta D$  ที่เหมาะสมเพื่อควบคุมให้  $m_{iL1}$  มีค่าเข้าหา  $-m_{ref}$  เพื่อให้  $i_{L1}$  มีค่าลดลง ในขณะเดียวกันก็จะส่งผลให้  $V_O$  มีค่าลดลงเข้าหา  $V_{ref}$  โดยกระบวนการพื้นที่ข้างต้นแสดงได้ดังรูปที่ 4.10 และจากการบวนการพื้นที่ข้างต้นสามารถพิจารณาให้อยู่ในรูปฟังก์ชันสามาชิก  $\Delta V/V_{ref}$ ,  $m_{iL1}/m_{ref}$  และ  $\Delta D$  แสดงดังรูปที่ 4.11



รูปที่ 4.11 ฟังก์ชันสามาชิก  $\Delta V/V_{ref}$ ,  $m_{iL1}/m_{ref}$  และ  $\Delta D$  ในกรณี  $\Delta V/V_{ref} \in N$

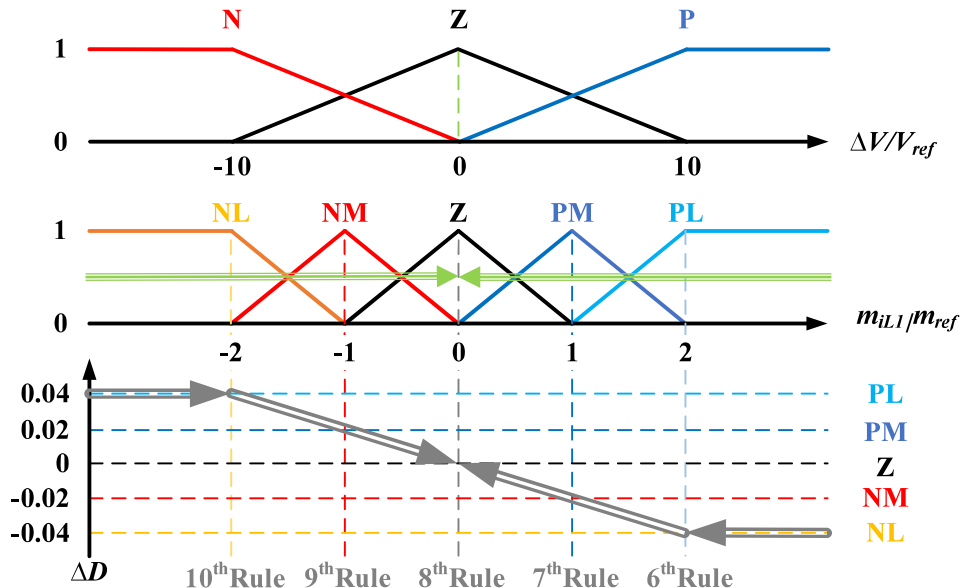
กรณีที่ 2  $\Delta V/V_{ref}$  เป็นสามาชิกของเขตศูนย์ ( $\Delta V/V_{ref} \in Z$ ) ก็ต่อเมื่อ  $V_O$  มีค่าประมวล  $V_{ref}$  กระบวนการพื้นที่ของ  $i_{L1}$  ณ เวลาใด ๆ พบร่วมมีความเป็นไปได้ที่จะเข้าเงื่อนไขกฎพื้นที่ 6 ถึงกฎที่ 10 กระบวนการตั้งกล่าวสามารถอธิบายได้ดังนี้

- 6) กฎฟัซซีข้อที่ 6 เมื่อ  $m_{iL1}/m_{ref}$  มีบวกค่ามากอยู่ในเขต PL หมายถึง  $i_{L1}$  ณ เวลาที่พิจารณากำลังเพิ่มขึ้นสูงมาก ดังนั้นตัวควบคุมฟัซซีต้องลดค่า  $D$  โดยการสร้าง  $\Delta D$  ที่ติดลบมาก (NL) เพื่อจะทำให้  $m_{iL1}$  ลดลงมาก ๆ เข้าหาศูนย์
- 7) กฎฟัซซีข้อที่ 7 เมื่อ  $m_{iL1}/m_{ref}$  มีค่าบวกปานกลางอยู่ในเขต PM หมายถึง  $i_{L1}$  ณ เวลาที่พิจารณากำลังเพิ่มขึ้นสูงไม่มากนัก ดังนั้นตัวควบคุมฟัซซีต้องลดค่า  $D$  โดยการสร้าง  $\Delta D$  ที่ติดลบปานกลาง (NM) เพื่อจะทำให้  $m_{iL1}$  ลดลงไม่มากนัก เข้าหาศูนย์
- 8) กฎฟัซซีข้อที่ 8 เมื่อ  $m_{iL1}/m_{ref}$  มีค่าประมาณศูนย์อยู่ในเขต Z หมายถึง  $i_{L1}$  ณ เวลาที่พิจารณาไม่เปลี่ยนแปลง ดังนั้นตัวควบคุมฟัซซีต้องคงค่า  $D$  โดยการสร้าง  $\Delta D$  ที่เป็นศูนย์ (Z) เพื่อจะทำให้  $m_{iL1}$  คงค่าที่ประมาณศูนย์
- 9) กฎฟัซซีข้อที่ 9 เมื่อ  $m_{iL1}/m_{ref}$  มีค่าลบปานกลางอยู่ในเขต NM หมายถึง  $i_{L1}$  ณ เวลาที่พิจารณากำลังลดลงไม่มากนัก ดังนั้นตัวควบคุมฟัซซีต้องเพิ่มค่า  $D$  โดยการสร้าง  $\Delta D$  ที่บวกปานกลาง (PM) เพื่อจะทำให้  $m_{iL1}$  เพิ่มขึ้นไม่มากนักเข้าหาศูนย์
- 10) กฎฟัซซีข้อที่ 10 เมื่อ  $m_{iL1}/m_{ref}$  มีค่าลบมากอยู่ในเขต NL หมายถึง  $i_{L1}$  ณ เวลาที่พิจารณากำลังลดลงมาก ดังนั้นตัวควบคุมฟัซซีต้องเพิ่มค่า  $D$  โดยการสร้าง  $\Delta D$  ที่บวกมาก (PL) เพื่อจะทำให้  $m_{iL1}$  เพิ่มขึ้นมากเข้าหาศูนย์



รูปที่ 4.12 กระบวนการฟัซซีของ  $i_{L1}$  ณ เวลาใด ๆ กรณีที่ค่า  $\Delta V/V_{ref} \in Z$

จะเห็นได้ว่าเมื่อ  $V_O$  มีค่าประมาณ  $V_{ref}$  ส่งผลให้ตัวควบคุมฟ์ชีจะสร้าง  $\Delta D$  ที่เหมาะสมเพื่อควบคุมให้  $m_{iL1}$  มีค่าเข้าหาศูนย์ เพื่อให้  $i_{L1}$  มีค่าเพิ่มขึ้น หรือลดลง หลังจากนั้นจะคงค่ากระแส ในขณะเดียวกันก็จะส่งผลให้  $V_O$  มีค่าเพิ่มขึ้น หรือลดลง หลังจากนั้นจะคงค่าแรงดันที่  $V_{ref}$  โดยกระบวนการฟ์ชีข้างต้นแสดงได้ดังรูปที่ 4.12 และสามารถพิจารณาในรูปฟังก์ชัน samaZik  $\Delta V/V_{ref}$ ,  $m_{iL1}/m_{ref}$  และ  $\Delta D$  แสดงดังรูปที่ 4.13



รูปที่ 4.13 ฟังก์ชัน samaZik  $\Delta V/V_{ref}$ ,  $m_{iL1}/m_{ref}$  และ  $\Delta D$  ในกรณี  $\Delta V/V_{ref} \in Z$

กรณีที่ 3  $\Delta V/V_{ref}$  เป็น samaZik ของเขตบาง ( $\Delta V/V_{ref} \in P$ ) ก็ต่อเมื่อ  $V_O$  มีค่าน้อยกว่า  $V_{ref}$  กระบวนการฟ์ชีของ  $i_{L1}$  ณ เวลาใด ๆ พบร่วมความเป็นไปได้ที่จะเข้าเงื่อนไขกฎฟ์ชีข้อที่ 11 ถึงกฎที่ 15 กระบวนการตั้งกล่าวสามารถอธิบายได้ดังนี้

11) กฎฟ์ชีข้อที่ 11 เมื่อ  $m_{iL1}/m_{ref}$  มีบวกค่ามากอยู่ในเขต PL หมายถึง  $i_{L1}$  ณ เวลาที่พิจารณากำลังเพิ่มขึ้นสูงมาก ดังนั้นตัวควบคุมฟ์ชีต้องลดค่า  $D$  โดยการสร้าง  $\Delta D$  ที่ติดลบปานกลาง (NM) เพื่อจะทำให้  $m_{iL1}$  ลดลงไม่มากนักเข้าหา  $m_{ref}$

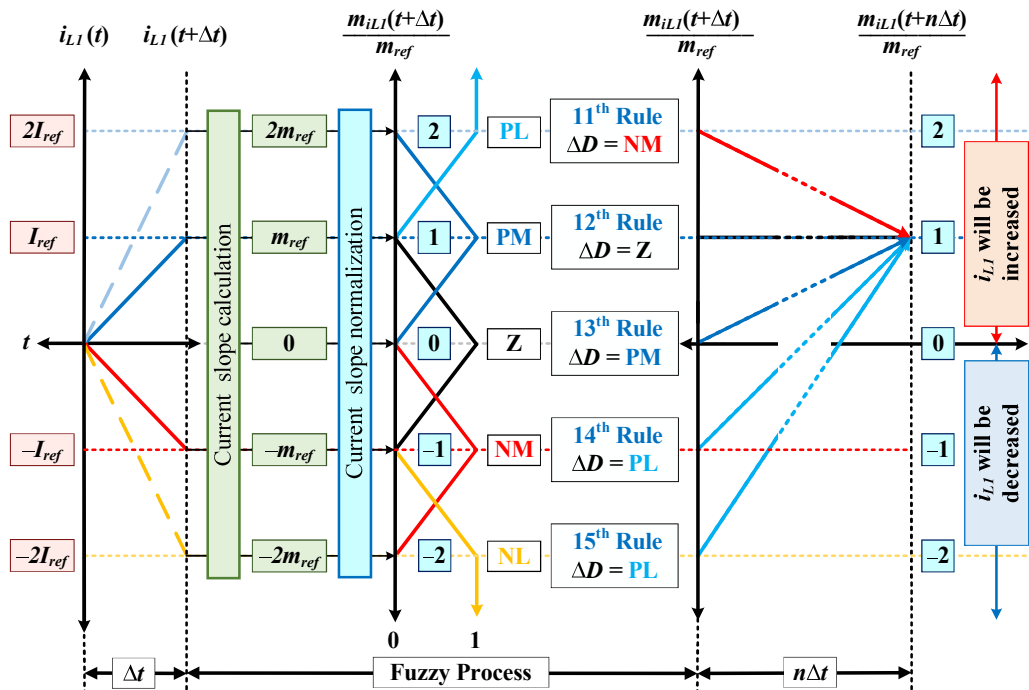
12) กฎฟ์ชีข้อที่ 12 เมื่อ  $m_{iL1}/m_{ref}$  มีค่าบวกปานกลางอยู่ในเขต PM หมายถึง  $i_{L1}$  ณ เวลาที่พิจารณากำลังเพิ่มขึ้นสูงไม่มากนัก ดังนั้นตัวควบคุมฟ์ชีต้องคงค่า  $D$  โดยการสร้าง  $\Delta D$  ที่เป็นศูนย์ (Z) เพื่อจะทำให้  $m_{iL1}$  คงค่าที่  $m_{ref}$

13) กฎฟ์ชีข้อที่ 13 เมื่อ  $m_{iL1}/m_{ref}$  มีค่าประมาณศูนย์อยู่ในเขต Z หมายถึง  $i_{L1}$  ณ เวลาที่พิจารณาไม่เปลี่ยนแปลง ดังนั้นตัวควบคุมฟ์ชีต้องเพิ่มค่า  $D$  โดยการ

สร้าง  $\Delta D$  ที่เป็นบวกปานกลาง (PM) เพื่อจะทำให้  $m_{iL1}$  เพิ่มขึ้นไม่มากนักเข้าหาก  $m_{ref}$

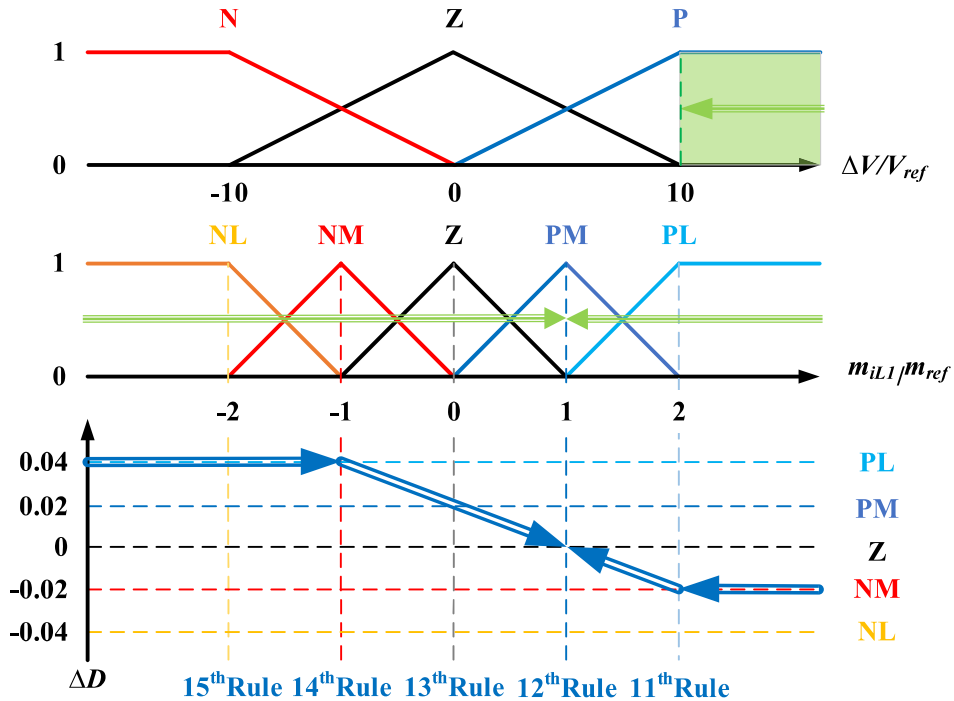
14) กฎพื้นฐานที่ 14 เมื่อ  $m_{iL1}/m_{ref}$  มีค่าลับปานกลางอยู่ในเขต NM หมายถึง  $i_{L1}$  ณ เวลาที่พิจารณากำลังลดลงไม่มากนัก ดังนั้นตัวควบคุมพื้นที่ต้องเพิ่มค่า  $D$  โดยการสร้าง  $\Delta D$  ที่บวกมาก (PL) เพื่อจะทำให้  $m_{iL1}$  เพิ่มขึ้นมากเข้าหาก  $m_{ref}$

15) กฎพื้นฐานที่ 15 เมื่อ  $m_{iL1}/m_{ref}$  มีค่าลับมากอยู่ในเขต NL หมายถึง  $i_{L1}$  ณ เวลาที่พิจารณากำลังลดลงมาก ดังนั้นตัวควบคุมพื้นที่ต้องเพิ่มค่า  $D$  โดยการสร้าง  $\Delta D$  ที่บวกมาก (PL) เพื่อจะทำให้  $m_{iL1}$  เพิ่มขึ้นมากเข้าหาก  $m_{ref}$



รูปที่ 4.14 กระบวนการฟื้นฟูของ  $i_{L1}$  ณ เวลาใด ๆ กรณีที่ค่า  $\Delta V/V_{ref} \in P$

จะเห็นได้ว่าเมื่อ  $V_O$  มีค่าน้อยกว่า  $V_{ref}$  ส่งผลให้ตัวควบคุมพื้นที่จะสร้าง  $\Delta D$  ที่เหมาะสมเพื่อควบคุมให้  $m_{iL1}$  มีค่าเข้าหาก  $m_{ref}$  เพื่อให้  $i_{L1}$  มีค่าเพิ่มขึ้น ในขณะเดียวกันก็จะส่งผลให้  $V_O$  มีค่าเพิ่มขึ้นเข้าหาก  $V_{ref}$  โดยกระบวนการฟื้นฟูข้างต้นแสดงได้ดังรูปที่ 4.14 และสามารถพิจารณาในรูป方框 diagram ของ  $\Delta V/V_{ref}$ ,  $m_{iL1}/m_{ref}$  และ  $\Delta D$  แสดงดังรูปที่ 4.15



รูปที่ 4.15 ฟังก์ชันสมาชิก  $\Delta V/V_{ref}$ ,  $m_{iL1}/m_{ref}$  และ  $\Delta D$  ในกรณี  $\Delta V/V_{ref} \in P$

จากการออกแบบฟังก์ชันสมาชิก  $\Delta V/V_{ref}$  ที่มีการทับซ้อนกันระหว่างเซต ดังนั้น  $\Delta V/V_{ref}$  ที่ได้สามารถเป็นสมาชิกของ เซตลบ ร่วมกับ เซตศูนย์ ( $\Delta V/V_{ref} \in N\&Z$ ) และเซตศูนย์ ร่วมกับ เซตบวก ( $\Delta V/V_{ref} \in Z\&P$ ) อีกทั้งฟังก์ชันสมาชิก  $m_{iL1}/m_{ref}$  ที่มีการทับซ้อนกันระหว่างเซต เช่นกัน จึงมีความเป็นไปได้ที่ค่าอินพุตทั้งสองจะเข้าเงื่อนไขกฎพื้ชซึ่งได้มากสุด 4 ข้อ อย่างไรก็ตามการ ทำดีพื้ชซึ่งทำหน้าที่แปลงค่าจากผลการรวมกฎพื้ชซึ่งให้อยู่ในรูปของค่าชัดเจน นั่นคือ  $\Delta D$  ที่เหมาะสม เพื่อควบคุมให้  $V_O$  มีค่าเท่ากับ  $V_{ref}$  ในสภาพแวดล้อมตัว

จากการศึกษาพฤติกรรมการทำงานของวงจร นำไปสู่กระบวนการออกแบบตัวควบคุมพื้ชซึ่ง สำหรับวงจรแปลงผันกำลังไฟฟ้าแบบบูสต์เรียงต่อ กันสามชั้น สามารถกำหนดค่าพารามิเตอร์ของการ ควบคุมพื้ชซึ่งที่พัฒนาขึ้นได้ดังตารางที่ 4.3

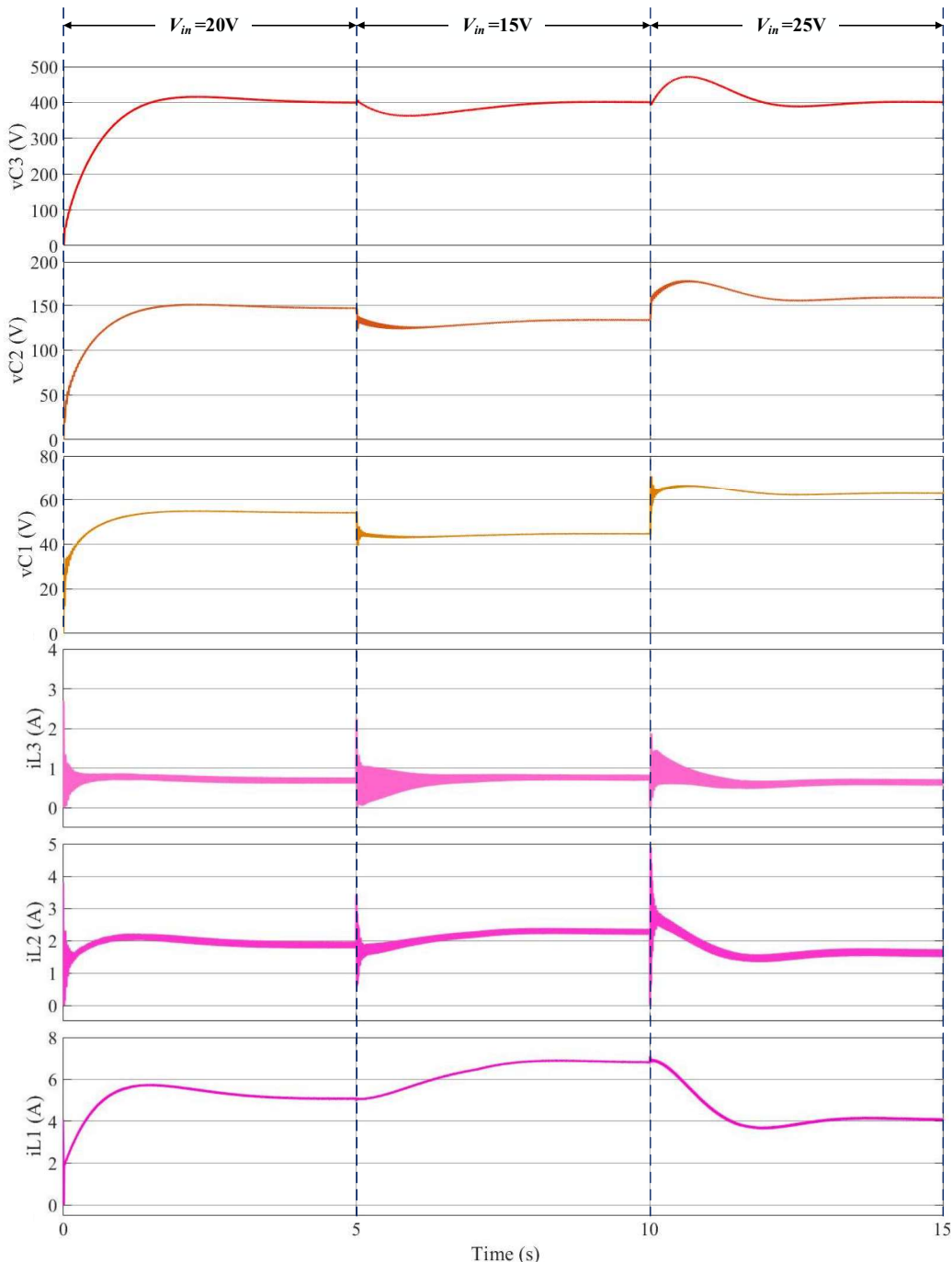
ตารางที่ 4.3 ค่าพารามิเตอร์ของตัวควบคุมพื้ชซึ่งที่พัฒนาขึ้น

พารามิเตอร์	สัญลักษณ์	ค่าพารามิเตอร์	หน่วย
การเปลี่ยนแปลงของเวลา	$\Delta t$	500	$\mu s$
ความชันอ้างอิง	$m_{ref}$	100	A/s

### 4.3 การจำลองสถานการณ์วงจรแปลงผันกำลังไฟฟ้าแบบบูสต์เรียงต่อกันสามขั้นโดยใช้ตัวควบคุมพื้นที่พัฒนาขึ้น

จากการออกแบบการควบคุมพื้นที่พัฒนาขึ้นดังที่อธิบายข้างต้น สามารถยืนยันประสิทธิผลด้วยการจำลองสถานการณ์วงจรแปลงผันกำลังไฟฟ้าแบบบูสต์เรียงต่อกันสามขั้นภายใต้ตัวควบคุมพื้นที่ อาศัยโปรแกรม MATLAB SIMULINK โดยพิจารณาผลการจำลองสถานการณ์รวมเป็น 3 กรณี ประกอบด้วย การเปลี่ยนแปลงแรงดันอินพุต ( $V_{in}$ ) การเปลี่ยนแปลงแรงดันอ้างอิง ( $V_{ref}$ ) และการเปลี่ยนแปลงโหลดตัวต้านทาน ( $R$ )

กรณีที่ 1 การจำลองสถานการณ์เมื่อมีการเปลี่ยนแปลง  $V_{in}$  เป็น 20V, 15V และ 25V ในช่วงเวลา 0s, 5s และ 10s ตามลำดับ โดยคงค่า  $V_{ref}$  ที่ 400V และ  $R$  ที่ 1600Ω ผลการจำลองสถานการณ์แรงดันต่อกรุ่นต่ำกว่า 4.16 ในช่วงเริ่มต้นการทำงาน โดยที่มี  $V_{in}$  เป็น 20V จ่ายให้กับวงจรแปลงผันกำลังไฟฟ้าอย่างต่อเนื่อง สังเกตเห็นได้ว่า  $V_o$  หรือ  $V_{C3}$  มีค่าเพิ่มขึ้นจากศูนย์ไปยัง  $V_{ref}$  ที่ 400 V โดยใช้เวลาประมาณ 2s ส่วน  $i_{L1}$ ,  $i_{L2}$  และ  $i_{L3}$  มีค่าเพิ่มขึ้น หลังจากนั้นจะคงที่ประมาณ 5A, 1.85A และ 0.6875A ตามลำดับ หลังจากนั้น ณ เวลาที่ 5s แรงดัน  $V_{in}$ ลดลงจาก 20V เป็น 15V จากผลการจำลองสถานการณ์จะเห็นได้ว่า  $V_{C1}$ ,  $V_{C2}$  และ  $V_{C3}$  มีค่าลดลง เนื่องจากการลดลงของ  $V_{in}$  หลังจากนั้น  $V_{C3}$  ถูกควบคุมให้มีค่าเท่ากับ  $V_{ref}$  ที่ 400V โดยที่  $i_{L1}$ ,  $i_{L2}$  และ  $i_{L3}$  มีค่าเพิ่มขึ้นเพื่อคงค่ากำลังไฟฟ้าไว้ที่ 100W โดย  $i_{L1}$  มีค่าคงที่ประมาณ 6.67A ใช้เวลาในการเข้าสู่สภาวะอยู่ตัวประมาณ 2.5s และ ณ เวลาที่ 10s แรงดัน  $V_{in}$  เพิ่มขึ้นจาก 15V เป็น 25V จะเห็นได้ว่าหลังจากเปลี่ยนจุดการทำงาน แรงดันต่อกรุ่นต่ำกว่า 4.16 และกระแสที่ไหลผ่านตัวเหนี่ยวนำเกิดการพุ่งเกิน หลังจากนั้น  $V_{C3}$  ถูกควบคุมให้มีค่าคงที่ 400V ส่วน  $i_{L1}$ ,  $i_{L2}$  และ  $i_{L3}$  มีค่าลดลงเพื่อคงค่ากำลังไฟฟ้าไว้ที่ 100W โดย  $i_{L1}$  มีค่าคงที่ประมาณ 4A ใช้เวลาในการเข้าสู่สภาวะอยู่ตัวประมาณ 2s



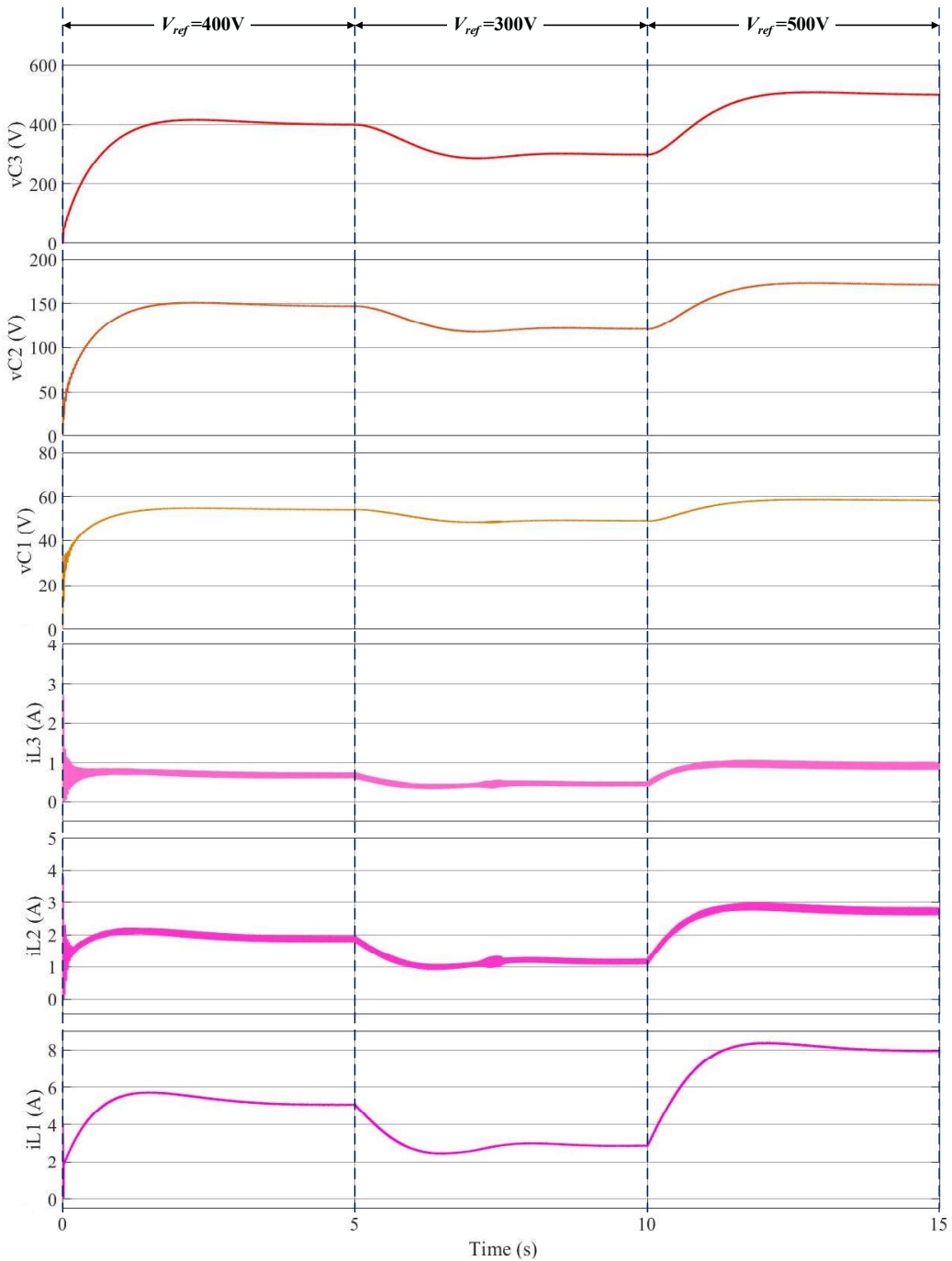
รูปที่ 4.16 แรงดันต่อกำลังตัวเก็บประจุ และกระแสที่เหล่านั้นยาน้ำของวงจรกรณีเปลี่ยนแปลงแรงดันอินพุต

กรณีที่ 2 การจำลองสถานการณ์เมื่อมีการเปลี่ยนแปลง  $V_{ref}$  เป็น 400V, 300V และ 500V ในช่วงเวลา 0s, 5s และ 10s ตามลำดับ โดยคงค่า  $V_{in}$  ที่ 20V และ  $R$  ที่ 1600Ω ผลการจำลอง

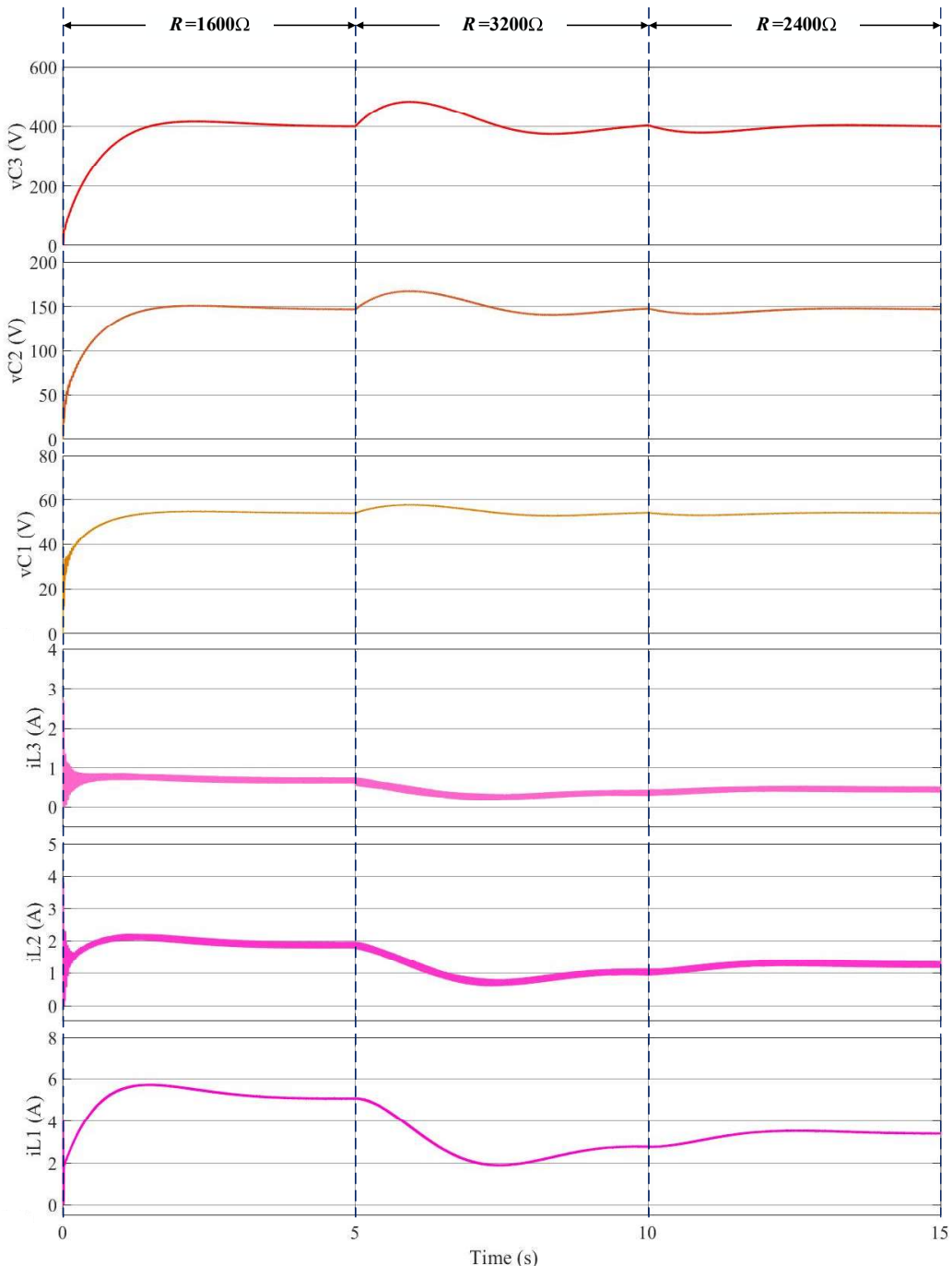
สถานการณ์แรงดันเอาต์พุต และกระแสที่โหลดผ่านตัวเหนี่ยวนำแสดงดังรูปที่ 4.17 จะเห็นได้ว่า ในช่วงเริ่มต้นการทำงาน เมื่อมี  $V_{in}$  เป็น 20V จ่ายให้กับวงจรแปลงผันกำลังไฟฟ้า สังเกตเห็นได้ว่า  $V_O$  หรือ  $V_{C3}$  มีค่าเพิ่มขึ้นจากศูนย์ไปยัง  $V_{ref}$  ที่ 400V โดยใช้เวลาประมาณ 2s ส่วน  $i_{L1}$ ,  $i_{L2}$  และ  $i_{L3}$  มีค่าเพิ่มขึ้นจากศูนย์ และคงที่ประมาณ 5A, 1.85A และ 0.6875A ตามลำดับ หลังจากนั้น  $V_{ref}$  จะเปลี่ยนเป็น 300V และ 500V ณ เวลาที่ 5s และ 10s ตามลำดับ จากผลการจำลองสถานการณ์จะเห็นได้ว่า ตัวควบคุมพัชซีที่พัฒนาขึ้นสามารถถรักษา  $V_{C3}$  มีค่าตาม  $V_{ref}$  โดยที่  $i_{L1}$  ถูกควบคุมให้มีความชันตาม  $m_{ref}$  โดยที่ไม่เกิดการพุ่งเกิน และใช้เวลาเข้าที่ประมาณ 2s

กรณีที่ 3 การจำลองสถานการณ์เมื่อมีการเปลี่ยนแปลง  $R$  เป็น 1600Ω, 3200Ω และ 2400Ω ในช่วงเวลา 0s, 5s และ 10s ตามลำดับ โดยคงค่า  $V_{in}$  ที่ 20V และ  $V_{ref}$  ที่ 400V จากผลการจำลองสถานการณ์แรงดันตกคร่อมตัวเก็บประจุ และกระแสที่โหลดผ่านตัวเหนี่ยวนำแสดงดังรูปที่ 4.18 ในช่วงเริ่มต้นการทำงาน เมื่อมี  $V_{in}$  เป็น 20V จะเห็นได้ว่า  $V_O$  หรือ  $V_{C3}$  มีค่าเพิ่มขึ้นจากศูนย์ไปยัง  $V_{ref}$  ที่ 400V โดยใช้เวลาประมาณ 2s ส่วน  $i_{L1}$ ,  $i_{L2}$  และ  $i_{L3}$  มีค่าเพิ่มขึ้นจากศูนย์ และคงที่ประมาณ 5A, 1.85A และ 0.6875A ตามลำดับ หลังจากนั้น  $R$  ถูกเปลี่ยนจาก 1600Ω เป็น 3200Ω ณ เวลาที่ 5s นั่นคือกำลังไฟฟ้ามีการเปลี่ยนแปลงจาก 100W เป็น 50W จะเห็นได้ว่า หลังจากเปลี่ยนจุดการทำงาน  $V_{C1}$ ,  $V_{C2}$  และ  $V_{C3}$  เกิดการพุ่งเกิน และลดลง โดย  $V_{C3}$  ลดลงเข้าหา  $V_{ref}$  ที่ 400V โดยที่  $i_{L1}$  ถูกควบคุมให้มีความชันตาม  $-m_{ref}$  มีค่าคงที่ประมาณ 2.5A ใช้เวลาในการเข้าสู่สภาวะอยู่ตัวประมาณ 3s และ ณ เวลาที่ 10s  $R$  ถูกเปลี่ยนจาก 3200Ω เป็น 2400Ω จะเห็นได้ว่า หลังจากเปลี่ยนจุดการทำงาน  $V_{C1}$ ,  $V_{C2}$  และ  $V_{C3}$  ลดลงกะทันหัน หลังจากนั้น ถูกควบคุมให้มีแรงดันเพิ่มขึ้นเท่ากับ  $V_{ref}$  ที่ 400V โดยที่  $i_{L1}$  มีความชันตาม  $m_{ref}$  และมีค่าคงที่ประมาณ 3.33A ใช้เวลาในการเข้าสู่สภาวะอยู่ตัวประมาณ 2s

จากการจำลองสถานการณ์ข้างต้นแสดงให้เห็นว่า การควบคุมพัชซีที่พัฒนาขึ้นมีสมรรถนะของการควบคุมที่ดี โดยสามารถถรักษา  $V_O$  หรือ  $V_{C3}$  มีค่าเท่ากับ  $V_{ref}$  โดยใช้เวลาเข้าสู่สภาวะอยู่ตัวอย่างรวดเร็ว และเกิดการพุ่งเกินที่ไม่มากนัก



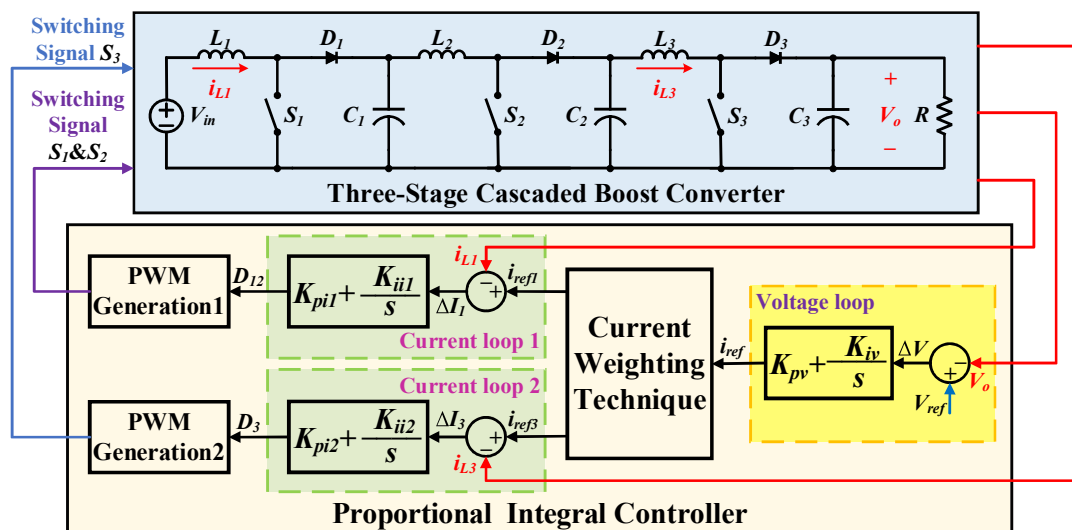
รูปที่ 4.17 แรงดันต่อกครื่อมตัวเก็บประจุ และกระแสที่เหล่านั้นตัวหนึ่งของวงจรกรณีเปลี่ยนแปลงแรงดันอ้างอิง



รูปที่ 4.18 แรงดันตกคร่อมตัวเก็บประจุ และกระแสที่เหลือผ่านตัวเหนี่ยวนำของวงจรกรณีเปลี่ยนแปลงโหลดตัวต้านทาน

#### 4.4 การออกแบบการควบคุมพีไอสำหรับวงจรแปลงผันกำลังไฟฟ้าแบบบูสต์เรียงต่อกันสามขั้น

บทนี้จะนำเสนอด้วยการเปรียบเทียบสมรรถนะระหว่างตัวควบคุมพีซีที่พัฒนาขึ้นกับตัวควบคุมพีไอ เนื่องจากตัวควบคุมพีไอแบบตั้งเดิมจะวัดค่ากระแสอินพุตและแรงดันเอาต์พุต สำหรับใช้ในการควบคุมลุ่มกระแสและลูปแรงดัน ไม่สามารถควบคุมการทำงานของวงจรแปลงผันกำลังไฟฟ้าแบบบูสต์เรียงต่อกันสามขั้นได้อย่างมีประสิทธิผล จึงได้มีการพัฒนาตัวควบคุมพีไอร่วมกับเทคนิคการถ่วงน้ำหนักกระแส (Khwan-on and Diewsurin, 2018) ดังนั้นจึงพิจารณาเปรียบเทียบสมรรถนะของตัวควบคุมพีซีที่พัฒนาขึ้นกับตัวควบคุมพีไอร่วมกับเทคนิคการถ่วงน้ำหนักกระแส ซึ่งมีรายละเอียดดังต่อไปนี้ การออกแบบการควบคุมพีไอร่วมกับเทคนิคการถ่วงน้ำหนักกระแสสำหรับวงจรแปลงผันกำลังไฟฟ้าแบบบูสต์เรียงต่อกันสามขั้นอาศัยหลักการออกแบบค่าพารามิเตอร์สำหรับวงจรแปลงผันกำลังไฟฟ้าแบบบูสต์ตั้งเดิม โดยมีการตรวจวัดค่าแรงดัน  $V_O$  และตรวจวัดกระแส  $i_{L1}$  และ  $i_{L3}$  เพื่อส่งค่าที่ตรวจวัดได้ไปยังตัวควบคุมพีไอ ซึ่งประกอบด้วยลูปควบคุมแรงดันเอาต์พุตหนึ่งลูป (PI Voltage Loop) และลูปควบคุมกระแสสองลูป (PI Current Loops) เพื่อให้สามารถควบคุมการทำงานของสวิตช์ ( $S_1, S_2, S_3$ ) ได้อย่างเหมาะสม อีกทั้งยังอาศัยการถ่วงน้ำหนักกระแสเข้าช่วยปรับค่ากระแสอ้างอิง ( $i_{ref}$ ) ให้มีค่าเหมาะสมสำหรับลูปควบคุมกระแสทั้งสองลูป



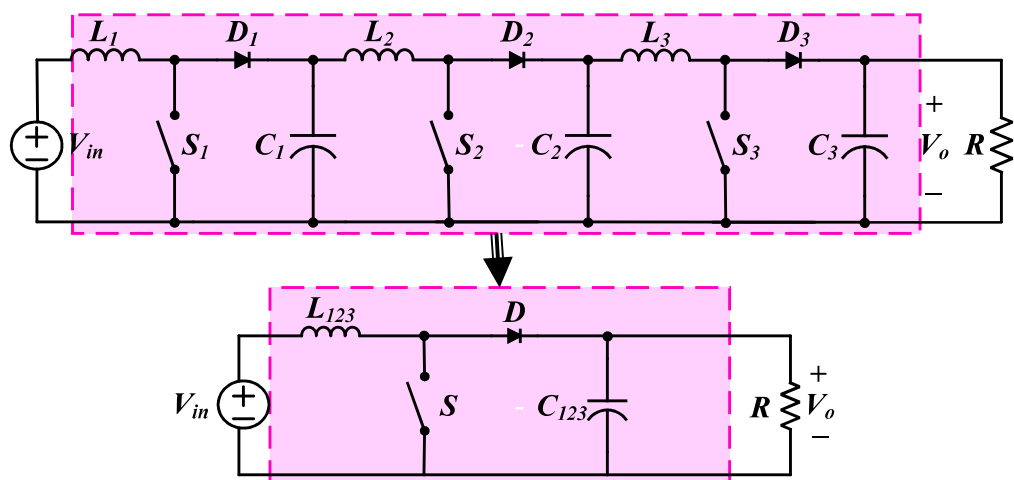
รูปที่ 4.19 โครงสร้างการควบคุมพีไอควบคุมพีไอร่วมกับเทคนิคการถ่วงน้ำหนักกระแสของวงจรแปลงผันกำลังไฟฟ้าแบบบูสต์เรียงต่อกันสามขั้น

กระบวนการควบคุมพีไอสำหรับวงจรแปลงผันกำลังไฟฟ้าแบบบูสต์เรียงต่อกันสามขั้นเริ่มจากการตรวจวัด  $V_O$  เพื่อนำมาเปรียบเทียบกับ  $V_{ref}$  ก่อนนำเข้าสู่ลูปควบคุมแรงดัน ที่ได้รับการออกแบบ

จากพารามิเตอร์ ( $K_{pv}, K_i$ ) ของตัวควบคุมพีไอ หลังจากนั้นลูปควบคุมแรงดันจะสร้างสัญญาณ  $i_{ref}$  สำหรับลูปควบคุมกระแสทั้งสอง โดยจะอาศัยเทคนิคการถ่วงน้ำหนักกระแส (Current weighting technique) กระบวนการดังกล่าวจะทำหน้าที่ปรับแก้กระแสอ้างอิงให้มีค่าเหมาะสมสำหรับลูปควบคุมกระแสทั้งสอง ( $i_{ref1}, i_{ref3}$ ) หลังจากนั้นค่ากระแสอ้างอิงทั้งสองจะถูกส่งไปให้ลูปควบคุมกระแสทั้งสองเพื่อเปรียบเทียบกับค่า  $i_{L1}$  และ  $i_{L3}$  ที่ตรวจวัดได้ตามลำดับ โดยลูปควบคุมกระแสจะประกอบด้วยพารามิเตอร์ตัวควบคุม ( $K_{pi1}, K_{ii1}, K_{pi2}, K_{ii2}$ ) จากการออกแบบ โดยลูปควบคุมกระแสแต่ละลูปจะสร้างสัญญาณควบคุมการทำงานของสวิตช์ หรือค่าวัดจักรหน้าที่ของสวิตช์เปรียบเทียบกับสัญญาณรูปคลื่นสามเหลี่ยม (Triangular Signal) โดยลูปควบคุมกระแสที่หนึ่งที่มีอินพุตเป็นผลเปรียบเทียบระหว่าง  $i_{ref1}$  และ  $i_{L1}$  เอ้าต์พุตที่ได้เป็นสัญญาณการควบคุมสวิตช์ตัวที่ 1 และ 2 ( $S_1, S_2$ ) ส่วนลูปควบคุมกระแสที่สองที่มีอินพุตเป็นผลเปรียบเทียบระหว่างค่า  $i_{ref3}$  และ  $i_{L3}$  เอ้าต์พุตที่ได้เป็นสัญญาณการควบคุมสวิตช์ตัวที่ 3 ( $S_3$ ) การออกแบบตัวควบคุมพีไอประกอบด้วย 2 ส่วน คือการออกแบบการควบคุมลูปแรงดัน และการออกแบบการควบคุมลูปกระแส ซึ่งสามารถอธิบายได้ดังรูปที่ 4.19

#### 4.4.1 การออกแบบลูปควบคุมแรงดัน (PI Voltage Loop)

การออกแบบตัวควบคุมพีไอสำหรับลูปควบคุมแรงดันของวงจรแปลงผันกำลังไฟฟ้าแบบบูสต์เรียงต่อกันสามขั้นได้อาศัยการออกแบบตัวควบคุมพีไอสำหรับลูปควบคุมแรงดันสำหรับวงจรแปลงผันกำลังไฟฟ้าแบบบูสต์ดังเดิม ดังรูปที่ 4.20 โดยการออกแบบตัวควบคุมพีไอจะอาศัยการประมาณค่าพารามิเตอร์ตัวเหนี่ยวนำ และตัวเก็บประจุ ดังสมการที่ (4.7) และ (4.8) ตามลำดับ จากวงจรแปลงผันกำลังไฟฟ้าแบบบูสต์เรียงต่อกันสามขั้นเป็นวงจรแปลงผันกำลังไฟฟ้าแบบบูสต์ดังเดิม



รูปที่ 4.20 การประมาณค่าพารามิเตอร์ตัวเหนี่ยวนำ และตัวเก็บประจุสำหรับลูปควบคุมแรงดัน

$$L_{123} = L_1 + L_2 + L_3 \quad (4.7)$$

$$C_{123} = C_1 + C_2 + C_3 \quad (4.8)$$

พิจารณาการทำงานของวงจรแปลงผันกำลังไฟฟ้าแบบบุสต์ดังเดิมในช่วงที่สวิตช์หยุดนำกระแสตั้งรูปที่ 3.13 จะได้ความชันแรงดันต่อกครอ姆ตัวเก็บประจุดังสมการที่ (3.22) ทำการแปลงลาปลาสได้ดังสมการที่ (4.9)

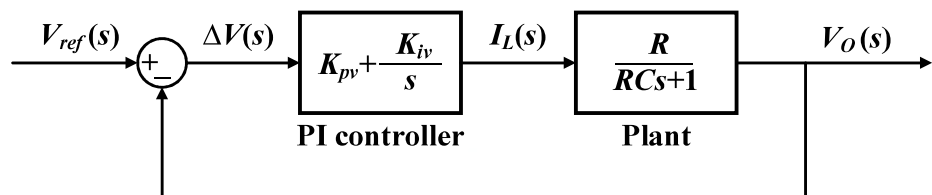
$$CsV_O \cdot s = I_L \cdot s - \frac{V_O \cdot s}{R} \quad (4.9)$$

ดังนั้นจะได้พลาบท์ของระบบจากการหาฟังก์ชันถ่ายโอนดังสมการที่ (4.10) และตัวควบคุมพีไอสำหรับลูปควบคุมแรงดันแสดงดังสมการที่ (4.11)

$$\frac{V_O \cdot s}{I_L \cdot s} = \frac{R}{RCs + 1} \quad (4.10)$$

$$G_{CV} \cdot s = K_{pv} + \frac{K_{iv}}{s} \quad (4.11)$$

จากสมการตัวควบคุมพีไอสำหรับลูปควบคุมแรงดันที่อยู่ในรูปแบบฟังก์ชันถ่ายโอนข้างต้น สามารถอธิบายเป็นแผนภาพการควบคุมพีไอดังรูปที่ 4.21 และสามารถหาฟังก์ชันถ่ายโอนวงปิดดังสมการที่ (4.12)



รูปที่ 4.21 แผนภาพการควบคุมพีไอลูปควบคุมแรงดัน

การออกแบบค่าพารามิเตอร์ตัวควบคุมพีไอในลูปควบคุมแรงดัน ( $K_{pv}, K_{iv}$ ) จะอาศัยการเทียบสัมประสิทธิ์ระหว่างพหุนามลักษณะเฉพาะของฟังก์ชันถ่ายโอนวงปิด ดังสมการที่ (4.12) กับพหุนามลักษณะเฉพาะของฟังก์ชันถ่ายโอนอันดับสองมาตรฐาน ดังสมการที่ (4.13) เมื่อ  $\zeta$  คืออัตราส่วนการหน่วง (Damping ratio) และ  $\omega_n$  คือค่าความถี่ธรรมชาติ โดยกำหนดให้  $\omega_n = 1/RC$  rad/s

$$\frac{V_o}{V_{ref}} \frac{s}{s} = \frac{K_{pv}Rs + K_{iv}Rs}{s^2 + \left( \frac{K_{pv}R + 1}{RC} \right)s + \frac{K_{iv}R}{RC}} \quad (4.12)$$

$$G(s) = \frac{\omega_n^2}{s^2 + 2\zeta\omega_n s + \omega_n^2} \quad (4.13)$$

ดังนั้นจะได้สมการออกแบบค่าพารามิเตอร์ตัวควบคุมพีไอ สำหรับลูปแรงดันดังสมการที่ (4.14) และ (4.15) ตามลำดับ

$$K_{pv} = 2\zeta\omega_n C - 1/R \quad (4.14)$$

$$K_{iv} = \omega_n^2 C \quad (4.15)$$

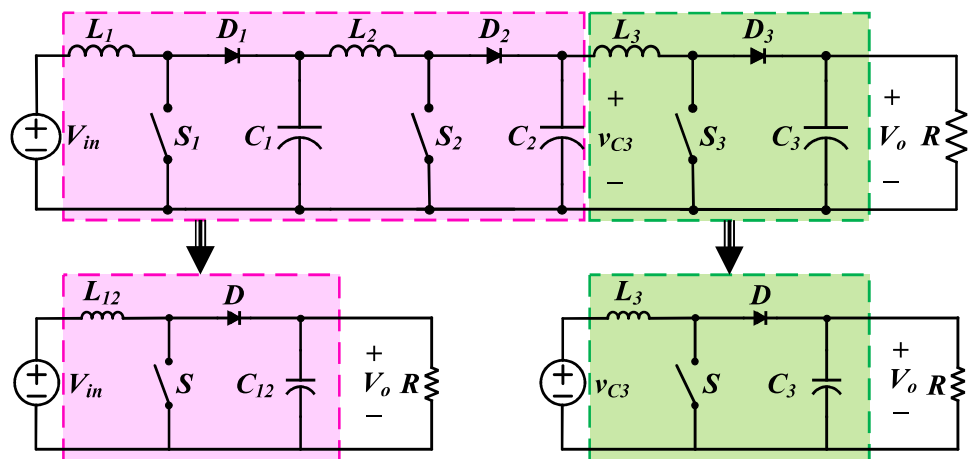
#### 4.4.2 การออกแบบลูปควบคุมกระแส (PI Current Loop)

การออกแบบตัวควบคุมพีไอของลูปควบคุมกระแสสำหรับวงจรแปลงผันกำลังไฟฟ้าแบบบูสต์เรียงต่อกันสามขั้นได้ออาศัยการออกแบบแบบตัวควบคุมพีไอสำหรับลูปควบคุมกระแสสำหรับวงจรแปลงผันกำลังไฟฟ้าแบบบูสต์ดังเดิมดังรูปที่ 4.22 ซึ่งประกอบด้วยสองลูปควบคุมกระแส โดยลูปควบคุมกระแสที่หนึ่งจะพิจารณางจกระแสผันกำลังไฟฟ้าแบบบูสต์ขั้นที่หนึ่งและสอง โดยพิจารณาจากการประมาณค่าพารามิเตอร์ตัวเหนี่ยวนำ และตัวเก็บประจุตัวทั้งสองขั้นรวมกันดังสมการที่ (4.16) และ (4.17) ส่วนลูปควบคุมกระแสที่สองจะพิจารณางจกระแสผันกำลังไฟฟ้า

แบบบูสต์ขั้นที่สาม โดยใช้ค่าพารามิเตอร์ตัวเหนี่ยวนำ และตัวเก็บประจุตัวที่สามเท่านั้น เมื่อแรงดันอินพุตคือแรงดันตกคร่อมตัวเก็บประจุตัวที่สอง

$$L_{12} = L_1 + L_2 \quad (4.16)$$

$$C_{12} = C_1 + C_2 \quad (4.17)$$



รูปที่ 4.22 การประมาณค่าพารามิเตอร์ตัวเหนี่ยวนำ และตัวเก็บประจุสำหรับลูปควบคุมกระแส

พิจารณาการทำงานของวงจรแปลงผันกำลังไฟฟ้าแบบบูสต์ดังเดิมในช่วงที่สวิตซ์หยุดนำกระแสแสดงรูปที่ 3.12 จะได้ความชันของกระแสผ่านตัวเหนี่ยวนำดังสมการที่ (3.16) ทำการแปลงลาปลาสได้ดังสมการที่ (4.18)

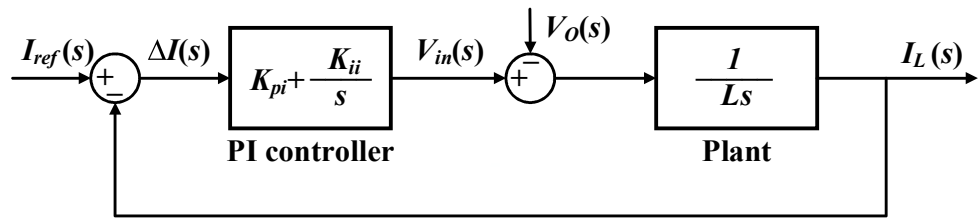
$$LsI_L s = V_{in} s - V_o s \quad (4.18)$$

ดังนั้นจะได้พลาโนร์ของระบบจากการหาฟังก์ชันถ่ายโอนดังสมการที่ (4.19) และตัวควบคุมพีโอดำรงลูปควบคุมกระแสแสดงดังสมการที่ (4.20)

$$\frac{V_o s}{I_L s} = \frac{R}{RCs + 1} \quad (4.19)$$

$$G_{Cl} s = K_{pi} + \frac{K_{ii}}{s} \quad (4.20)$$

จากสมการตัวควบคุมพีไอสำหรับลูปควบคุมกระแสที่อยู่ในรูปแบบฟังก์ชันถ่ายโอน ข้างต้น สามารถอธิบายเป็นแผนภาพการควบคุมพีไอดังรูปที่ 4.23 และสามารถหาฟังก์ชันถ่ายโอนของ ปิดดังสมการที่ (4.21)



รูปที่ 4.23 แผนภาพลูปควบคุมกระแสของ การควบคุมพีไอ

$$\frac{I_L s}{I_{ref} s} = \frac{K_{pi} V_{in} s + K_{ii} V_{in}}{s^2 + K_{pi} \frac{V_{in}}{L} s + K_{ii} \frac{V_{in}}{L}} \quad (4.21)$$

การออกแบบค่าพารามิเตอร์ลูปควบคุมแรงดัน ( $K_{pi}$ ,  $K_{ii}$ ) ของการควบคุมพีไอ จะอาศัยการเทียบสัมประสิทธิ์ของโพลาระหว่างพหุนามลักษณะเฉพาะของฟังก์ชันถ่ายโอนของปิด ดังสมการที่ (4.12) กับพหุนามลักษณะเฉพาะของฟังก์ชันถ่ายโอนอันดับสองมาตรฐาน ดังสมการที่ (4.22) เมื่อ  $\omega_{ni}$  คือค่าความถี่ธรรมชาติของลูปควบคุมกระแส มีค่าเท่ากับ  $\omega_{ni} = N\omega_n$  rad/s และ  $N$  คือจำนวนเท่าความถี่ธรรมชาติของลูปกระแสเมื่อเทียบกับลูปแรงดัน

$$G s = \frac{\omega_{ni}^2}{s^2 + 2\zeta\omega_{ni}s + \omega_{ni}^2} \quad (4.22)$$

จะได้สมการออกแบบค่าพารามิเตอร์การควบคุมพีไอ สำหรับลูปแรงดันดังสมการที่ (4.23) และ (4.24) ตามลำดับ

$$K_{pi} = \frac{2\zeta\omega_{ni}L}{V_{in}} \quad (4.23)$$

$$K_{ii} = \frac{\omega_{ni}^2 L}{V_{in}} \quad (4.24)$$

ดังนั้นจะได้ค่าพารามิเตอร์การควบคุมพีไอสำหรับสำหรับวงจรแปลงผันกำลังไฟฟ้าแบบบุสต์เรียงต่อกันสามขั้น โดยอาศัยการประมาณค่าพารามิเตอร์ตัวเห็นี่ยวนำและตัวเก็บประจุสำหรับลูปแรงดันและลูปกระแสดังแสดงในรูปที่ 4.20 และ 4.22 ตามลำดับ ดังนั้นจะสามารถพิจารณาค่าพารามิเตอร์ตัวควบคุมพีไอได้ดังตารางที่ 4.4

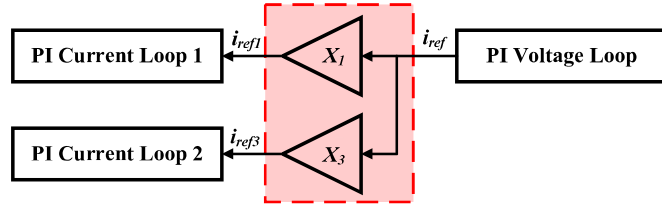
ตารางที่ 4.4 ค่าพารามิเตอร์ของตัวควบคุมพีไอสำหรับวงจรแปลงผันกำลังไฟฟ้าแบบบุสต์

วงจรแปลงผันกำลังไฟฟ้าแบบบุสต์ดั้งเดิม	วงจรแปลงผันกำลังไฟฟ้าแบบบุสต์เรียงต่อกันสามขั้น
$K_{pv} = 2\zeta\omega_n C - 1/R$	$K_{pv} = 2\zeta\omega_n C_1 + C_3 + C_2 - 1/R$
$K_{iv} = \omega_n^2 C$	$K_{iv} = \omega_n^2 C_1 + C_3 + C_2$
$K_{pi} = \frac{2\zeta\omega_{ni}L}{V_{in}}$	$K_{pi1} = \frac{2\zeta\omega_{ni} L_1 + L_2}{V_{in}}$
	$K_{pi2} = \frac{2\zeta\omega_{ni} L_3}{V_{C2}}$
$K_{ii} = \frac{\omega_{ni}^2 L}{V_{in}}$	$K_{ii} = \frac{\omega_{ni}^2 L_1 + L_2}{V_{in}}$
	$K_{ii} = \frac{\omega_{ni}^2 L_3}{V_{C2}}$

#### 4.4.3 เทคนิคการถ่วงน้ำหนักกระแส (Current Weighting Technique)

การควบคุมพีไอสำหรับวงจรแปลงผันกำลังไฟฟ้าแบบบุสต์เรียงต่อกันสามขั้น ประกอบด้วยลูปควบคุมกระแสสองลูป แต่สัญญาณ  $i_{ref}$  ที่ได้จากลูปควบคุมแรงดันยังมีค่าไม่เหมาะสม

สำหรับลูปควบคุมแรงดันทั้งสอง ตั้งนั้นจึงอาศัยเทคนิคการถ่วงน้ำหนักกระแส (Current weighting technique) เพื่อช่วยปรับแก้กระแสอ้างอิงให้มีค่าเหมาะสมสำหรับลูปควบคุมกระแสทั้งสอง ( $i_{ref1}$ ,  $i_{ref3}$ ) ดังรูปที่ 4.24



รูปที่ 4.24 แผนภาพเทคนิคการถ่วงน้ำหนักกระแสของตัวควบคุมพีไอ

จากแผนภาพรูปที่ 4.24 แสดงโครงสร้างเทคนิคการถ่วงน้ำหนักกระแส โดยที่สัญญาณ  $i_{ref}$  จากลูปควบคุมแรงดันถูกปรับแก้กระแสโดยการคูณกับค่าถ่วงน้ำหนักทั้งสอง ( $X_1$ ,  $X_3$ ) เพื่อให้ได้  $i_{ref1}$  และ  $i_{ref3}$  ดังสมการที่ (4.25) และ (4.26) ตามลำดับ และค่าตัวถ่วงน้ำหนักสำหรับกระแสอ้างอิงทั้งสองสามารถพิจารณาได้ดังสมการที่ (4.27) และ (4.28) ตามลำดับ

$$i_{ref1} = X_1 i_{ref} \quad (4.25)$$

$$i_{ref3} = X_3 i_{ref} \quad (4.26)$$

$$X_1 = \frac{i_{L1} + i_{L2}}{i_{L1} + i_{L2} + i_{L3}} \quad (4.27)$$

$$X_3 = \frac{i_{L3}}{i_{L1} + i_{L2} + i_{L3}} \quad (4.28)$$

ตารางที่ 4.5 ค่าพารามิเตอร์สำหรับออกแบบตัวควบคุมพีไอร่วมกับเทคนิคการถ่วงน้ำหนักกระแส

สัญลักษณ์	พารามิเตอร์	ขนาด	หน่วย
$D_1$	ค่าวัสดุจักรหน้าที่ของสวิตซ์ $S_1$	0.6	-
$D_2$	ค่าวัสดุจักรหน้าที่ของสวิตซ์ $S_2$	0.6	-
$D_3$	ค่าวัสดุจักรหน้าที่ของสวิตซ์ $S_3$	0.6785	-

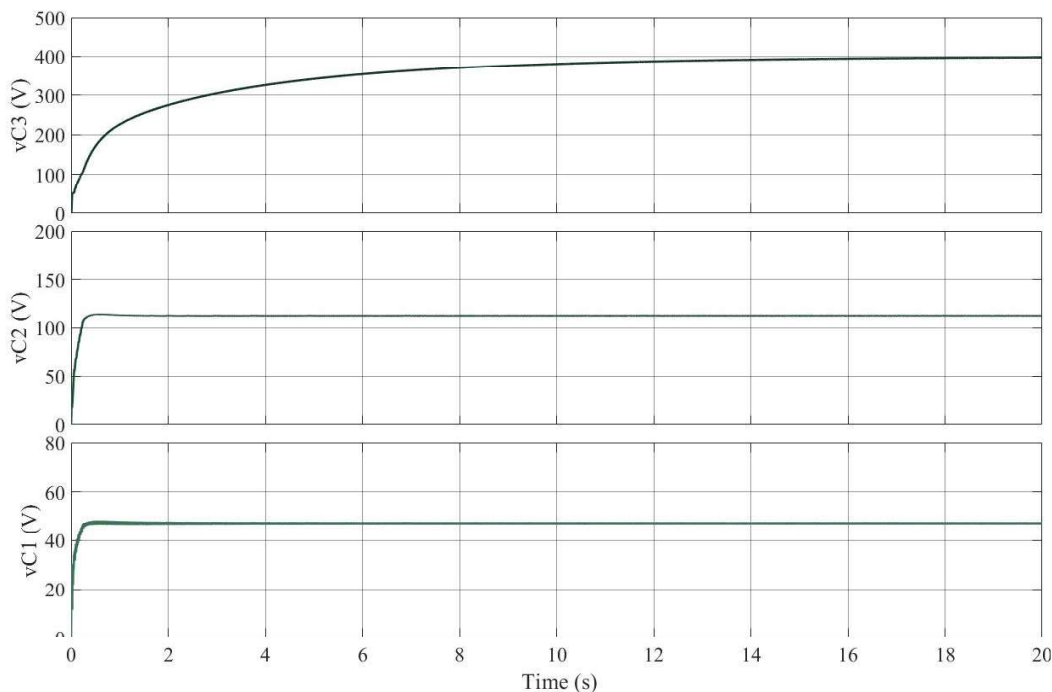
ตารางที่ 4.5 ค่าพารามิเตอร์สำหรับออกแบบตัวควบคุมพีไอร่วมกับเทคนิคการถ่วงน้ำหนักกระแส (ต่อ)

สัญลักษณ์	พารามิเตอร์	ขนาด	หน่วย
$i_{L1}$	กระแสไฟฟ้าผ่านตัวเหนี่ยวนำ	5	A
$i_{L2}$		2	A
$i_{L3}$		0.8	A
$V_{C1}$	แรงดันไฟฟ้าคร่อมตัวเก็บประจุ	50	V
$V_{C2}$		125	V
$V_{C3}$		400	V

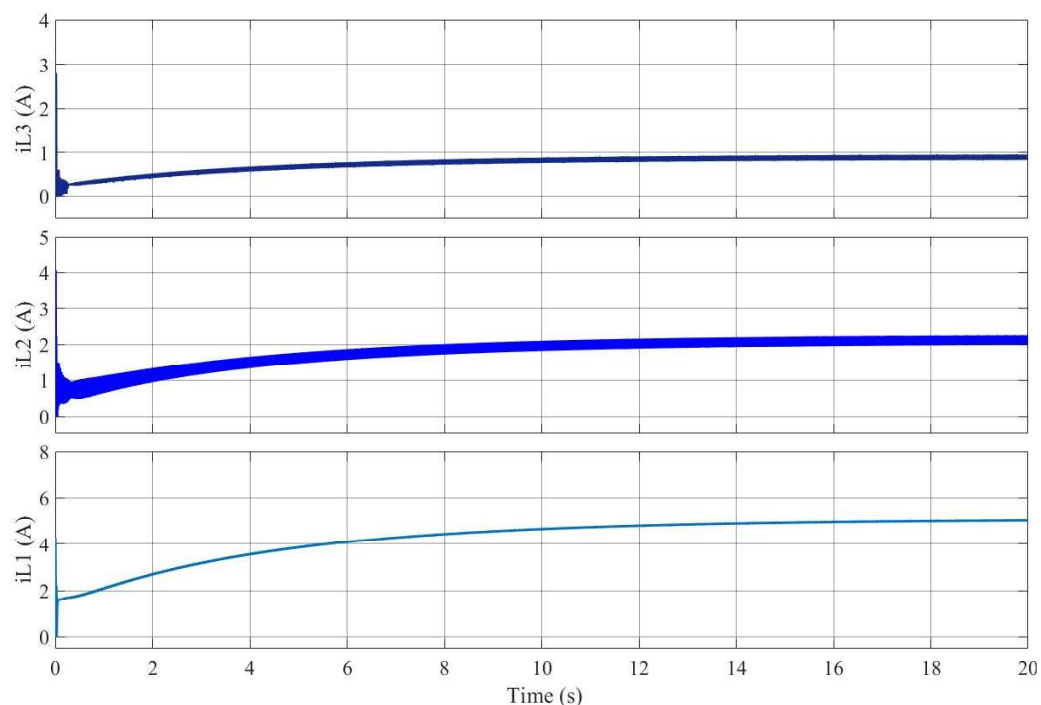
จากค่าพารามิเตอร์ต่าง ๆ สามารถคำนวณเพื่อออกแบบค่าตัวเหนี่ยวนำ และตัวเก็บประจุภายในวงจรแปลงผันกำลังไฟฟ้าแบบบุสต์เรียงต่อกันสามขั้นในบทที่ 3 ดังตารางที่ 3.2 และ 3.3 ตามลำดับ รวมถึงค่าพารามิเตอร์สำหรับออกแบบการควบคุมพีไอร่วมกับเทคนิคการถ่วงน้ำหนักกระแสตารางที่ 4.5 สามารถคำนวณหาค่าพารามิเตอร์การควบคุมพีไอทั้งลูปแรงดัน สองลูปกระแส และค่าตัวถ่วงน้ำหนักสำหรับกระแสอ้างอิง แสดงดังตารางที่ 4.6 โดยผลการจำลองสถานการณ์แรงดันตกคร่อมตัวเก็บประจุ และกระแสผ่านตัวเหนี่ยวนำแสดงดังรูปที่ 4.25 และ 4.26 ตามลำดับ

ตารางที่ 4.6 ค่าพารามิเตอร์ตัวควบคุมพีไอร่วมกับเทคนิคการถ่วงน้ำหนักกระแส

สัญลักษณ์	ขนาด	สัญลักษณ์	ขนาด
$\zeta$	0.9	$N$	100
$\omega_n$	2.083	$\omega_{ni}$	208.33
$K_{pv}$	0.005	$K_{pi1}$	1.27
$K_{iv}$	0.0065	$K_{ii1}$	292.97
$X_1$	0.85	$K_{pi2}$	0.42
$X_3$	0.15	$K_{ii2}$	97.22



รูปที่ 4.25 แรงดันต่อกครองตัวเก็บประจุภายในให้การควบคุมพีไอ



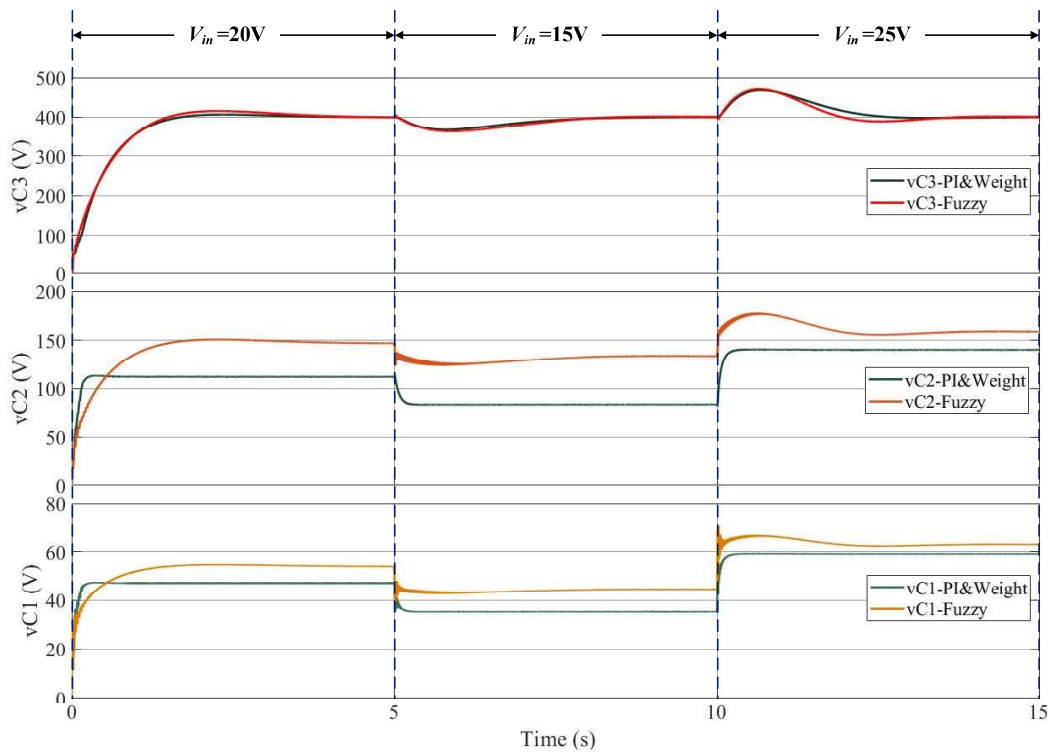
รูปที่ 4.26 กระแสไฟฟ้าในลิ้นตัวเก็บประจุภายในให้การควบคุมพีไอ

จากผลการจำลองสถานการณ์รูปที่ 4.25 และ 4.26 จะเห็นได้ว่า  $V_O$  หรือ  $V_{C3}$  มีค่าเพิ่มขึ้นจากศูนย์ไปยัง  $V_{ref}$  ที่ 400V โดยใช้เวลานานในการเข้าสู่สภาวะอยู่ตัวประมาณ 14s เนื่องจากลูปควบคุมแรงดันของการควบคุมพีไอสร้าง  $i_{ref}$  ที่มีผลตอบสนองที่ช้า เมื่อพิจารณาโครงสร้างการควบคุมพีไอสำหรับวงจรแปลงผันกำลังไฟฟ้าแบบบูสต์เรียงต่อกันสามขั้นรูปที่ 4.19 จะเห็นได้ว่า  $i_{ref}$  เป็นเออร์พุตของลูปแรงดัน โดยที่ค่าพารามิเตอร์  $K_{pv}$  และ  $K_{iv}$  ถูกพิจารณาจากการประมาณว่าจะแปลงผันกำลังไฟฟ้าแบบบูสต์เรียงต่อกันสามขั้นเป็นแบบบูสต์ดึงเดิมที่แสดงในรูปที่ 4.20 ส่งผลให้ค่าพารามิเตอร์ลูปควบคุมแรงดัน ( $K_{pv}, K_{iv}$ ) มีค่าไม่เหมาะสมสำหรับวงจรแปลงผันกำลังไฟฟ้าแบบบูสต์เรียงต่อกันสามขั้น จึงจำเป็นอย่างยิ่งที่ต้องทำการปรับจูนค่าพารามิเตอร์  $K_{iv}$  ให้มีค่าเหมาะสม เพื่อทำให้  $i_{ref}$  มีผลตอบสนองที่เร็วขึ้น โดยทำการคูณ  $K_{iv}$  ด้วย 5.5 จะทำให้ผลตอบสนองของวงจรแปลงผันกำลังไฟฟ้าแบบบูสต์เรียงต่อกันสามขั้นเข้าสู่สภาวะอยู่ตัวที่เร็ว และไม่เกิดการพุ่งเกิน

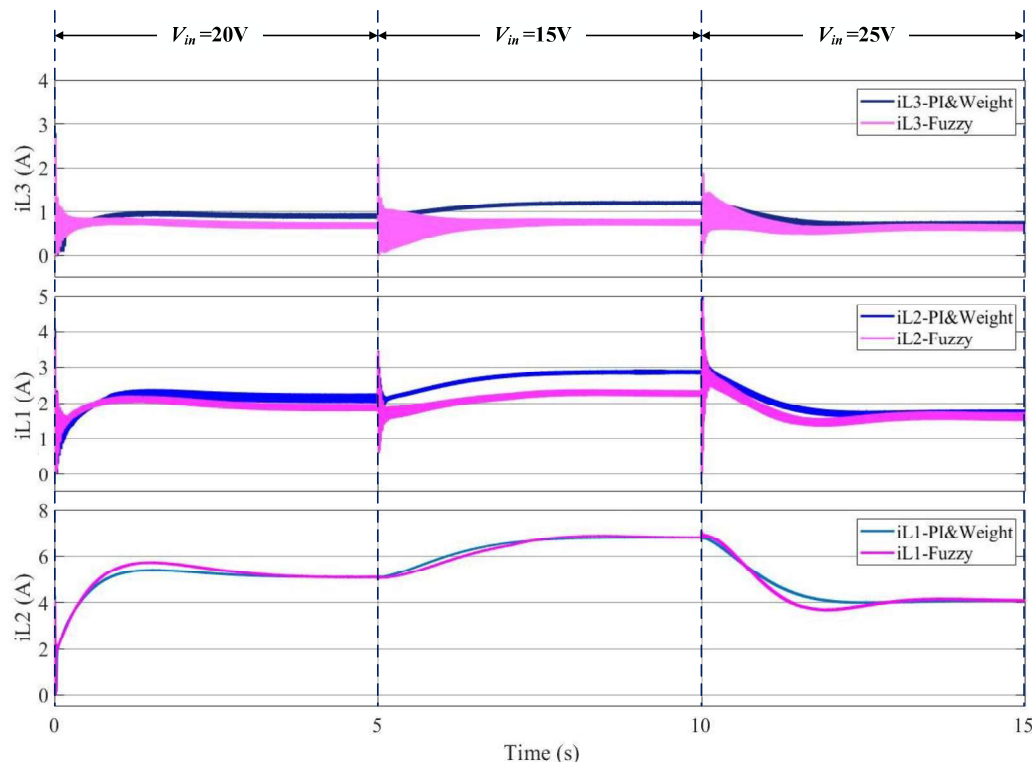
#### 4.4.4 การจำลองสถานการณ์เปรียบเทียบสมรรถนะระหว่างตัวควบคุมพีซีที่พัฒนาขึ้นและตัวควบคุมพีไอร่วมกับเทคนิคการถ่วงน้ำหนักกระแส

จากการออกแบบการควบคุมพีไอร่วมกับเทคนิคการถ่วงน้ำหนักกระแส และการควบคุมพีซีที่พัฒนาขึ้น จะดำเนินการเปรียบเทียบสมรรถนะด้วยการจำลองสถานการณ์ว่างจรแปลงผันกำลังไฟฟ้าแบบบูสต์เรียงต่อกันสามขั้นภายใต้การควบคุมทั้งสอง โดยพิจารณาผลการจำลองสถานการณ์แบ่งออกเป็น 3 กรณี ประกอบด้วย การเปลี่ยนแปลงแรงดันอินพุต ( $V_{in}$ ) การเปลี่ยนแปลงแรงดันอ้างอิง ( $V_{ref}$ ) และการเปลี่ยนแปลงโหลดตัวต้านทาน ( $R$ )

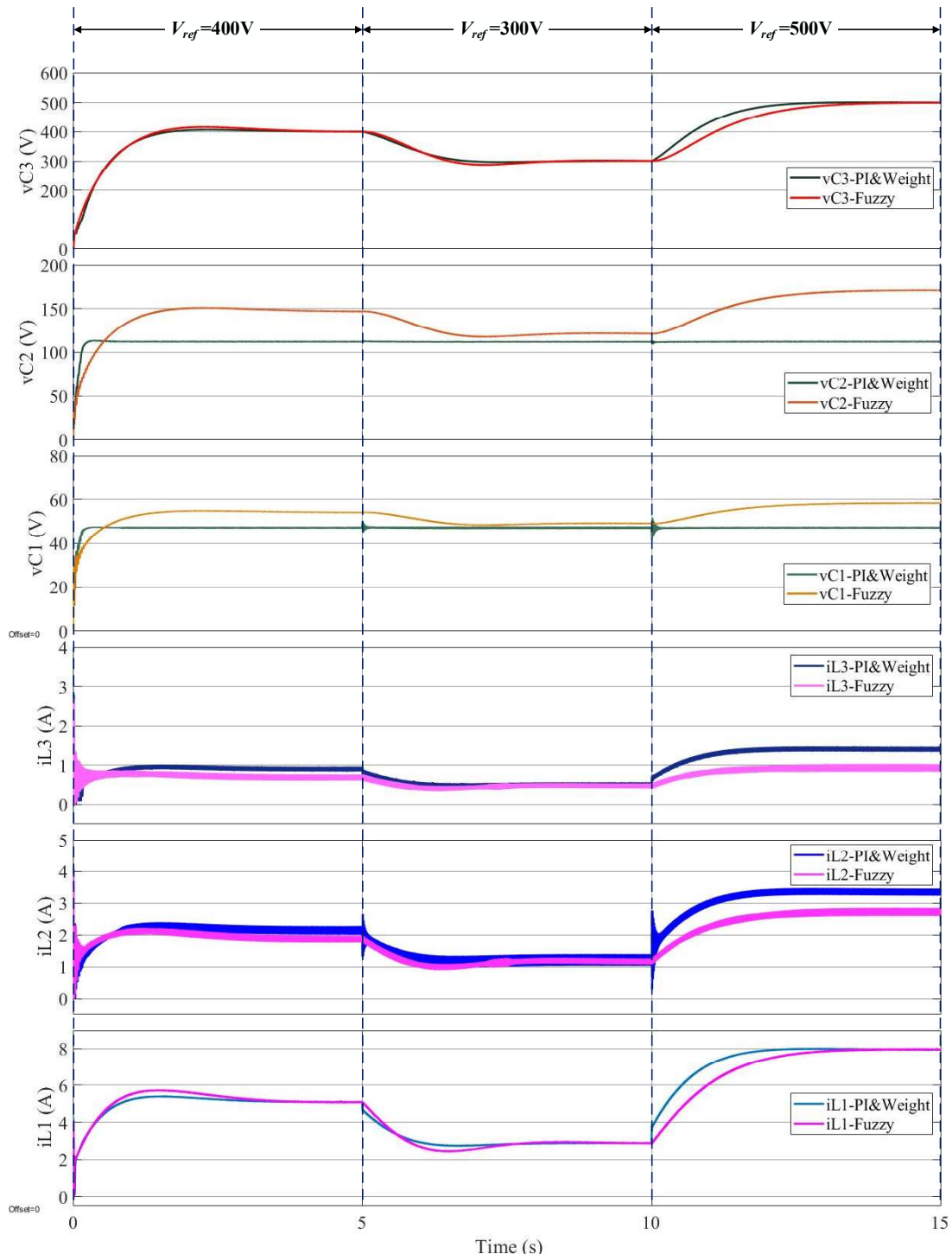
จากผลการจำลองสถานการณ์เพื่อเปรียบเทียบสมรรถนะของการควบคุมทั้งสองกรณีเปลี่ยนแปลง  $V_{in}$  จะเห็นได้ว่าทั้งตัวควบคุมพีซีที่พัฒนาขึ้น และตัวควบคุมพีไอร่วมกับเทคนิคการถ่วงน้ำหนักกระแสสามารถรักษา  $V_O$  หรือ  $V_{C3}$  มีค่าคงที่เท่ากับ  $V_{ref}$  โดยใช้เวลาเข้าที่ใกล้เคียงกันประมาณ 2s หลังจากนั้นมีการเปลี่ยนแปลงจุดการทำงานของ  $V_{in}$  ที่ส่งผลให้เกิดการลดลง และพุ่งเกินของแรงดันที่ตักคร่อมตัวเก็บประจุ ทั้งนี้  $V_{C3}$  มีค่าเท่ากับ  $V_{ref}$  ในสภาวะอยู่ตัวโดยใช้เวลาไม่เกิน 3s อย่างไรก็ตามค่า  $i_{L3}$  ภายในได้ตัวควบคุมพีซีมีการสั่นไกวมากกว่า เมื่อเทียบกับตัวควบคุมพีไอ



รูปที่ 4.27 ผลการจำลอง  $v_{C1}$ ,  $v_{C2}$ ,  $v_{C3}$  เพื่อเปรียบเทียบสมรรถนะกรณีเปลี่ยนแปลงแรงดันอินพุต



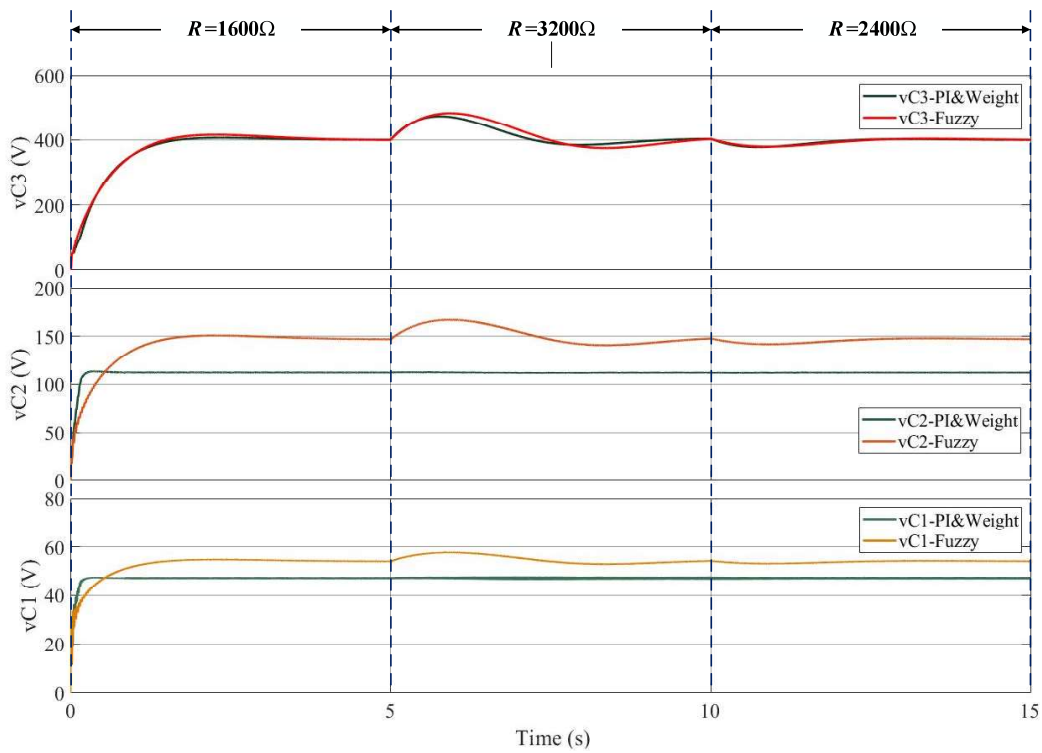
รูปที่ 4.28 ผลการจำลอง  $i_{L1}$ ,  $i_{L2}$ ,  $i_{L3}$  เพื่อเปรียบเทียบสมรรถนะกรณีเปลี่ยนแปลงแรงดันอินพุต



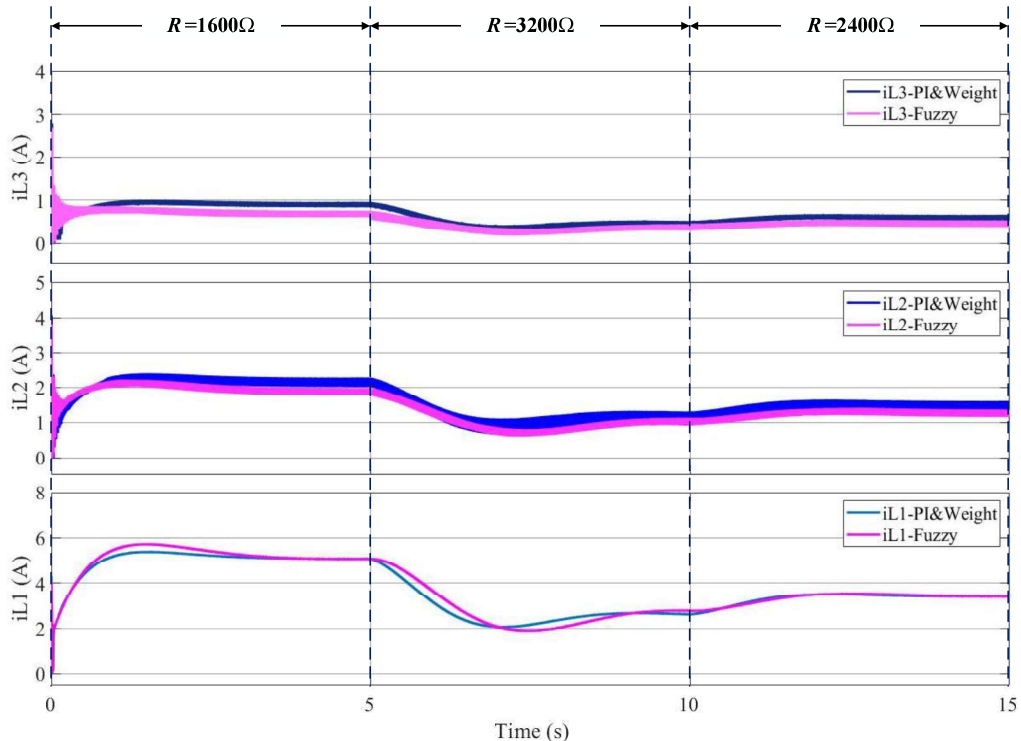
รูปที่ 4.29 ผลการจำลองแรงดันต้นต่อกลางตัวเก็บประจุ และกระแสผ่านตัวเหนี่ยววนักรณีเพื่อ  
เปรียบเทียบสมรรถนะกรณีเปลี่ยนแปลงแรงดันเอาต์พุต

กรณีที่ 2 การจำลองสถานการณ์เปรียบเทียบสมรรถนะของตัวควบคุมทั้งสอง เมื่อมีการเปลี่ยนแปลง  $V_{ref}$  เป็น 400V, 300V และ 500V ในช่วงเวลา 0s, 5s และ 10s ตามลำดับ โดยคงค่า  $V_{in}$  ที่ 20V และ  $R$  ที่ 1600Ω แรงดันตกคร่อมตัวเก็บประจุ และกระแสผ่านตัวเหนี่ยวนำแสดงดังรูปที่ 4.29 ซึ่งจะเห็นได้ว่าสังเกตเห็นได้ว่าตัวควบคุมพื้นที่ที่พัฒนาขึ้น และตัวควบคุมพีไอร่วมกับเทคนิคการถ่วงน้ำหนักกระแส สามารถรักษา  $V_O$  หรือ  $V_{C3}$  มีค่าเท่ากับ  $V_{ref}$  โดยที่ไม่เกิดการพุ่งเกินอิกทั้งยังใช้เวลาเข้าที่ไม่เกิน 3s อย่างไรก็ตามค่า  $V_{C3}$  และกระแส  $i_{L1}, i_{L2}$  และ  $i_{L3}$  ภายใต้การควบคุมพีไอมีการสั่นไวดมากกว่า เมื่อเทียบกับการควบคุมพื้นที่ที่พัฒนาขึ้น เนื่องจากเมื่อเปลี่ยนค่า  $V_{ref}$  จะส่งผลให้ขนาดค่า  $\Delta V$  มีค่ามาก อิกทั้งยังส่งผลให้ค่า  $i_{ref}$  มีขนาดที่มากตามไปด้วย โดยเฉพาะในช่วงหลังเปลี่ยนจุดการทำงาน ส่งผลให้  $i_{L1}, i_{L2}$  และ  $i_{L3}$  เพิ่มขึ้น และลดลงกะทันหัน จากการเปลี่ยน  $V_{ref}$  ซึ่งเมื่อเทียบกับกระบวนการควบคุมพื้นที่ที่พัฒนาขึ้นนั้น สามารถรักษา  $m_{iL1}$  ให้มีค่าตาม  $-m_{ref}$  ในช่วงเวลา 0s ถึง 5s ส่วนช่วงเวลา 10s ถึง 15s ตัวควบคุมพื้นที่ที่พัฒนาขึ้นจะควบคุมให้  $m_{iL1}$  ให้มีค่าตาม  $m_{ref}$  เพื่อเพิ่มระดับกระแสและแรงดันตามลำดับ

กรณีที่ 3 การจำลองสถานการณ์เปรียบเทียบสมรรถนะของตัวควบคุม เมื่อมีการเปลี่ยนแปลง  $R$  เป็น 1600Ω, 3200Ω และ 2400Ω ในช่วงเวลา 0s, 5s และ 10s ตามลำดับ โดยคงค่า  $V_{in}$  ที่ 20V และ  $V_{ref}$  ที่ 400V ผลการจำลองสถานการณ์แรงดันตกคร่อมตัวเก็บประจุ และกระแสผ่านตัวเหนี่ยวนำแสดงดังรูปที่ 4.30 และ 4.31 ตามลำดับ จะเห็นได้ว่าเมื่อเปลี่ยนจุดการทำงานโดยการเพิ่มค่า  $R$  จะส่งผลให้  $V_{C3}$  เกิดการพุ่งเกิน และลดค่า  $R$  จะส่งผลให้  $V_{C3}$  ลดลงในช่วงแรก จนนั้นตัวควบคุมพื้นที่ที่พัฒนาขึ้น และตัวควบคุมพีไอร่วมกับเทคนิคการถ่วงน้ำหนักกระแสสามารถรักษา  $V_O$  หรือ  $V_{C3}$  มีค่าเท่ากับ  $V_{ref}$  โดยระยะเวลาเข้าที่นั้นจะขึ้นกับกำลังไฟฟ้าที่เปลี่ยนแปลงไป ซึ่งจะเห็นได้ว่า เมื่อเพิ่มค่า  $R$  จาก 1600Ω เป็น 3200Ω นั่นคือการเปลี่ยนกำลังไฟฟ้าจาก 100W เป็น 50W ส่งผลให้เวลาเข้าที่ผลตอบสนองของ  $V_{C3}$  ช้ากว่าเมื่อเทียบกับกรณีลดค่า  $R$  จาก 3200Ω เป็น 2400Ω นั่นคือการเปลี่ยนกำลังไฟฟ้าจาก 50W เป็น 66.67W



รูปที่ 4.30 ผลการจำลอง  $v_{C1}$ ,  $v_{C2}$ ,  $v_{C3}$  เพื่อเปรียบเทียบสมรรถนะกรณีเปลี่ยนแปลงโหลดตัวต้านทาน



รูปที่ 4.31 ผลการจำลอง  $i_{L1}$ ,  $i_{L2}$ ,  $i_{L3}$  เพื่อเปรียบเทียบสมรรถนะกรณีเปลี่ยนแปลงโหลดตัวต้านทาน

จากผลการจำลองสถานการณ์เปรียบเทียบสมรรถนะของการควบคุมทั้งสองข้างต้นแสดงให้เห็นว่าตัวควบคุมพื้นที่พัฒนาขึ้น และตัวควบคุมพีไอร่วมกับเทคนิคการถ่วงน้ำหนักกระแสสามารถรักษา  $V_O$  หรือ  $V_{C3}$  มีค่าคงที่เท่ากับ  $V_{ref}$  โดยใช้เวลาเข้าที่ใกล้เคียงกัน อย่างไรก็ตามการออกแบบตัวควบคุมพีไอจะอาศัยการประมาณค่าของค่าพารามิเตอร์ตัวเหล่านี้ยวนำ และตัวเก็บประจุจากการเปลี่ยนแปลงผันกำลังไฟฟ้าแบบบูสต์เรียงต่อกันสามารถทำงานของวงจรให้เข้าสู่สภาวะอยู่ตัวได้อย่างรวดเร็ว เนื่องจากการประมาณวงจรเปลี่ยนแปลงผันกำลังไฟฟ้าแบบบูสต์เรียงต่อกันสามารถขึ้นเป็นแบบบูสต์ด้วยเดิม ส่งผลให้ค่าพารามิเตอร์ลูปควบคุมแรงดัน ( $K_{pv}, K_i$ ) มีค่าไม่เหมาะสมสำหรับวงจรเปลี่ยนแปลงผันกำลังไฟฟ้าแบบบูสต์เรียงต่อกันสามารถขึ้น จำเป็นอย่างยิ่งที่ต้องทำการปรับจูนค่าพารามิเตอร์  $K_i$  ให้มีค่าเหมาะสม จนกระทั่งได้ผลตอบสนองที่รวดเร็ว และไม่เกิดการพุ่งเกิน

## 4.5 สรุป

การควบคุมพื้นที่สำหรับวงจรเปลี่ยนแปลงผันกำลังไฟฟ้าแบบบูสต์เรียงต่อกันสามารถขึ้นถูกนำเสนอในบทนี้ โดยที่ตัวควบคุมพื้นที่พัฒนาขึ้นสามารถสร้างค่าวัฏจักรหน้าที่สวิตซ์ที่เหมาะสม เพื่อให้ได้ค่าแรงดันเอาต์พุตตามต้องการ รวมทั้งไม่มีการพุ่งเกินของค่าแรงดัน และกระแส เพื่อยืนยันสมรรถนะของตัวควบคุมพัฒนาขึ้น ได้อาศัยการจำลองสถานการณ์วงจรเปลี่ยนแปลงผันกำลังไฟฟ้าแบบบูสต์เรียงต่อกันสามารถขึ้นภายใต้การควบคุมพื้นที่ พบร้าสามารถรักษาแรงดันเอาต์พุตให้คงที่ได้ตามต้องการภายใต้สถานการณ์การเปลี่ยนแปลงของแรงดันอินพุต แรงดันอ้างอิง และโหลดตัวต้านทาน อีกทั้งยังได้นำเสนอผลเปรียบเทียบสมรรถนะระหว่างตัวควบคุมพื้นที่พัฒนาขึ้น กับตัวควบคุมพีไอ ผ่านการจำลองสถานการณ์ภายใต้การเปลี่ยนแปลงจุดการทำงานเดียวกัน ผลการจำลองแสดงให้เห็นว่าทั้งตัวควบคุมพื้นที่และตัวควบคุมพีไอที่ใช้เทคนิคการถ่วงน้ำหนักกระแส สามารถรักษาแรงดันเอาต์พุตให้คงที่ได้ใกล้เคียงกับค่าแรงดันอ้างอิงอ้างอิง และมีเวลาเข้าสู่สภาวะคงที่ใกล้เคียงกัน อย่างไรก็ตาม การออกแบบตัวควบคุมพีไอต้องอาศัยการประมาณค่าพารามิเตอร์ของวงจรเปลี่ยนแปลงผันกำลังไฟฟ้าแบบบูสต์เรียงต่อกันสามารถขึ้นเป็นแบบบูสต์ด้วยเดิม ทำให้ค่าพารามิเตอร์ลูปควบคุมแรงดันที่ได้อาจไม่เหมาะสม ส่งผลให้การตอบสนองของระบบไม่ดีนัก จึงต้องมีการปรับจูนค่าพารามิเตอร์เพิ่มเติม ในบทต่อไปจะนำเสนอรายละเอียดเกี่ยวกับการศึกษาพฤติกรรมของวงจรเปลี่ยนแปลงผันกำลังไฟฟ้าแบบบูสต์เรียงต่อกันสามารถขึ้นภายใต้การควบคุมพื้นที่พัฒนาขึ้น เมื่อเกิดความผิดพร่องแบบ

สวิตซ์เปิดวงจร เพื่อพัฒนาวิธีการตรวจจับความผิดพร่องแบบสวิตซ์เปิดวงจร เพื่อให้วงจรดังกล่าวสามารถทำงานต่อในสภาพความความคงทนต่อกลางได้อย่างมีประสิทธิผล